

INSTITUTO DE FÍSICA
UNIVERSIDADE DE SÃO PAULO



AULA 7

MAE

**FÍSICA APLICADA AO ESTUDO DE
OBJETOS DO PATRIMÔNIO
CULTURAL: MÉTODOS E TÉCNICAS**

Profa. Dra. Márcia A. Rizzutto



rizzutto@if.usp.br

<https://edisciplinas.usp.br/course/view.php?id=42442>

30 de maio de 2017

DISCIPLINA DE PÓS-GRADUAÇÃO INTERUNIDADES EM MUSEOLOGIA

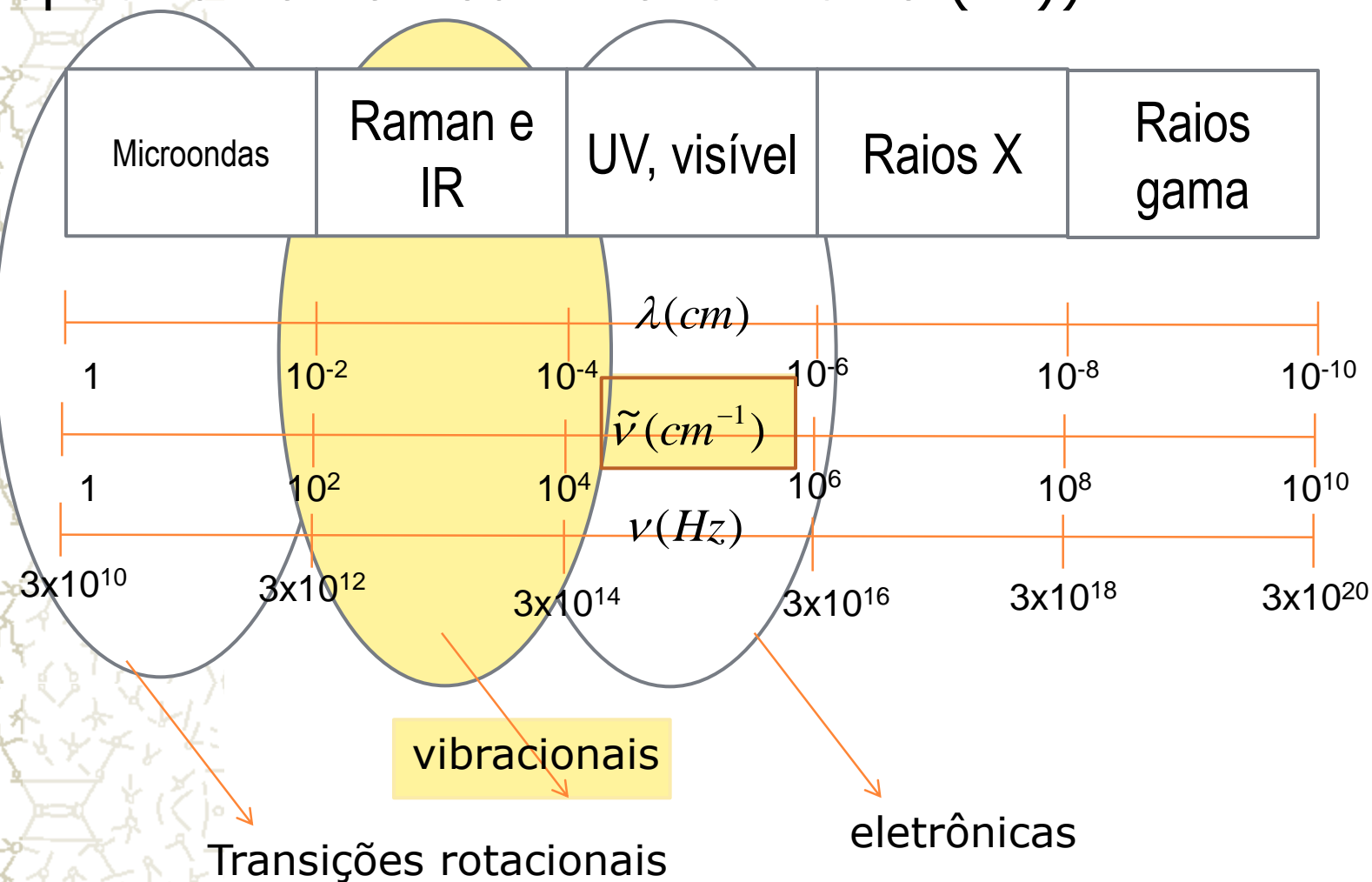
Programa

- **Capítulo 5 – Análises composicionais e estruturais**
 - Princípios Básicos das técnicas de infravermelho, Raman e Difração
 - Espectrometria Raman
 - Espectrometrias de Infravermelho com Transformada de Fourier
 - Estrutura cristalina e Difração
 - Aplicações
- **Capítulo 6 - Ativação Neutrônica e Análises Isotópicas**
 - Princípios Básicos da técnica de ativação neutrônica
 - Separação isotópica e análises
 - Aplicações nas análises de objetos
- **Capítulo 7: Métodos de Datação**
 - Dendocronologia
 - Datação com radiocarbono
 - Termoluminescência
 - Espectroscopia de Massa com aceleradores
 - Aplicações nas análises de objetos

Espectroscopia Raman e IR



Particularmente estamos interessados nas transições vibracionais (observadas através do espectro Raman ou infravermelho (IR))



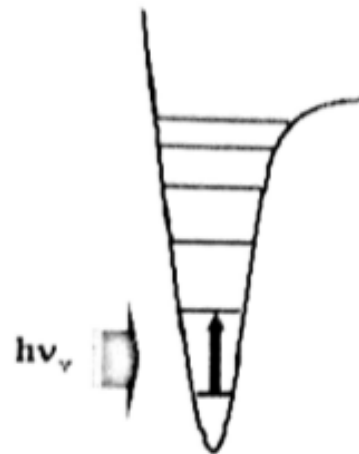
Espectros Infravermelho e de Raman

Reflection

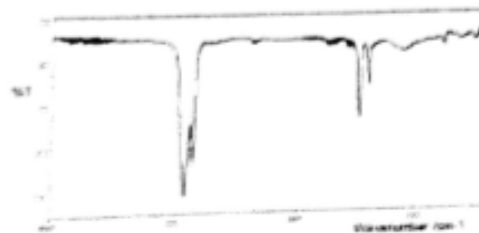
Transmission

Absorption

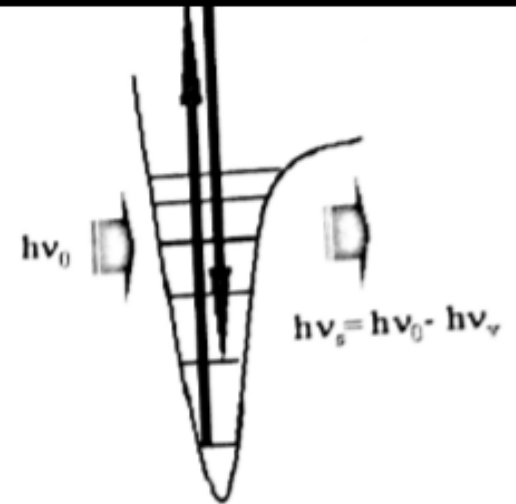
Scattering



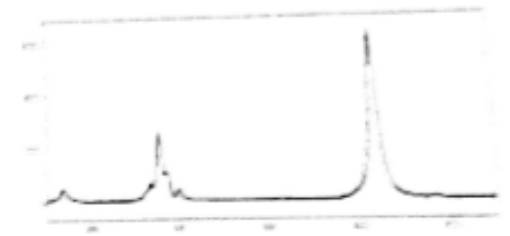
Absorção no Infravermelho



Espectro de absorção no IR

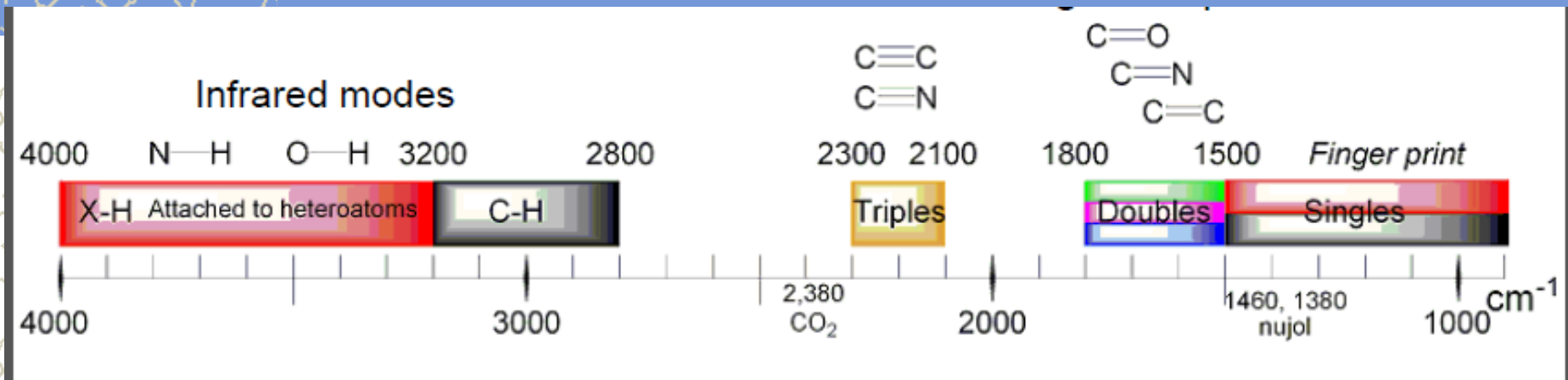


Espalhamento Raman

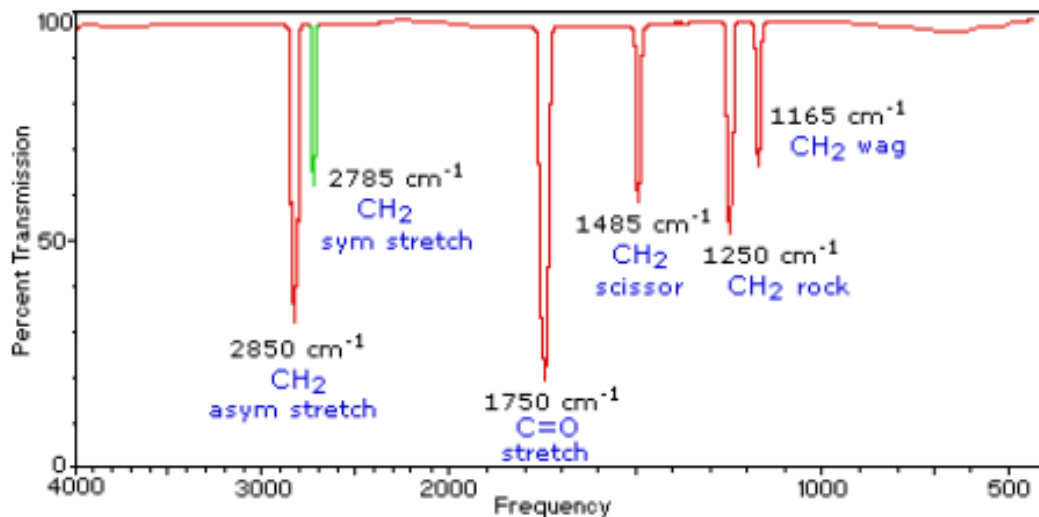


Espectro Raman

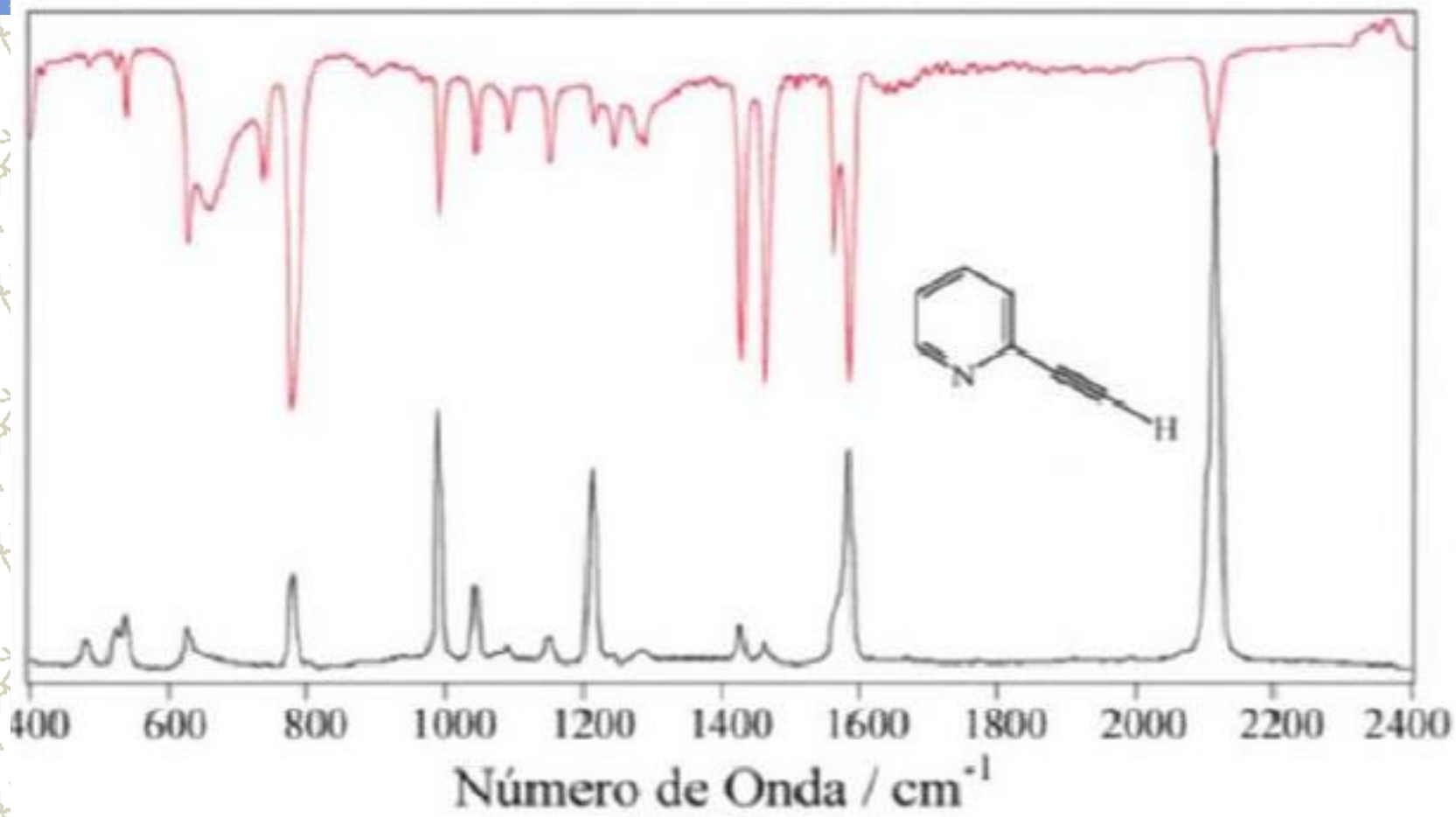
Espectroscopia infravermelho



Infrared light reflects different modes of vibration & rotation of molecules



Espectros Infravermelho versus Raman



Molecule	Band position cm^{-1}	Intensity	
		Raman	IR
Naphthalene	1630 - 1595	w	m
	1580 - 1570	vs	vw
	1510 - 1500	vw	m
	1390 - 1350	vs	ms
Anthracene	1630 - 1620	ms	ms
	1560 - 1550	vs	s
	1400 - 1390	vs	vw
Fenantrene	1620 - 1600	m	m
	1520 - 1500	m	s
	1460 - 1440	s	m
	1350 - 1300	vs	w

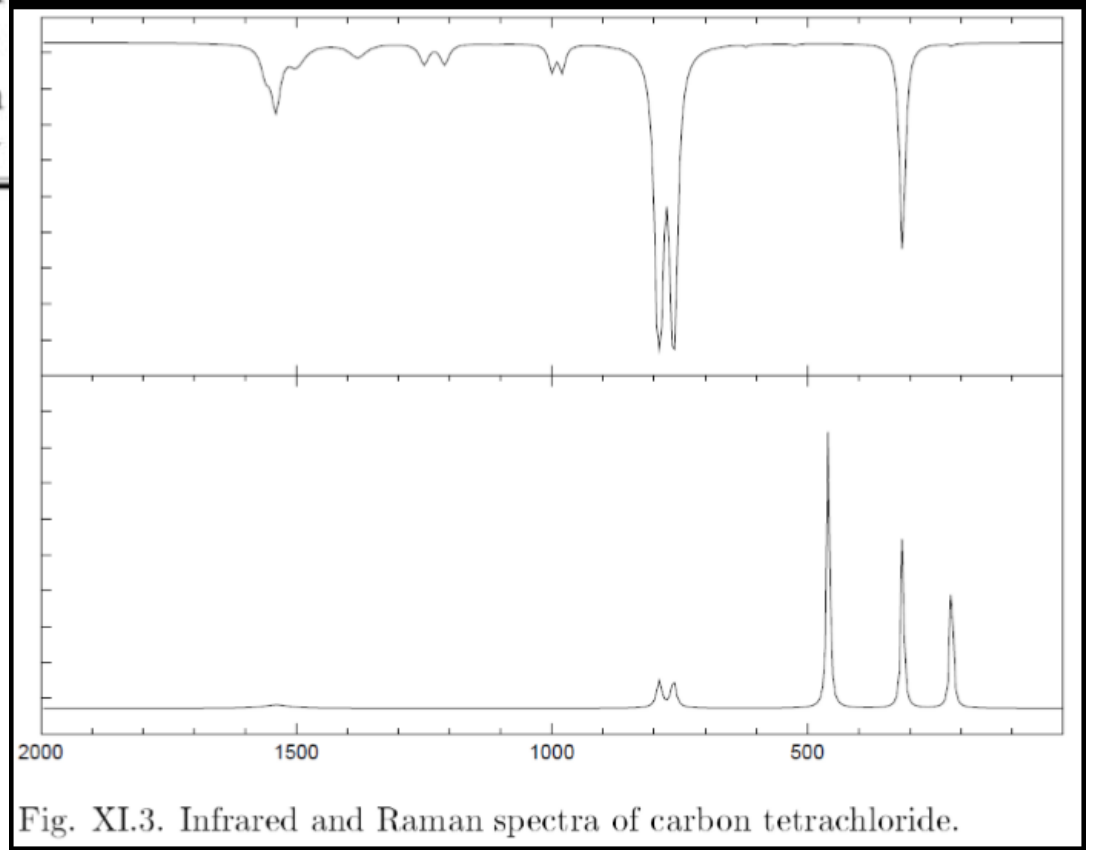


Fig. XI.3. Infrared and Raman spectra of carbon tetrachloride.

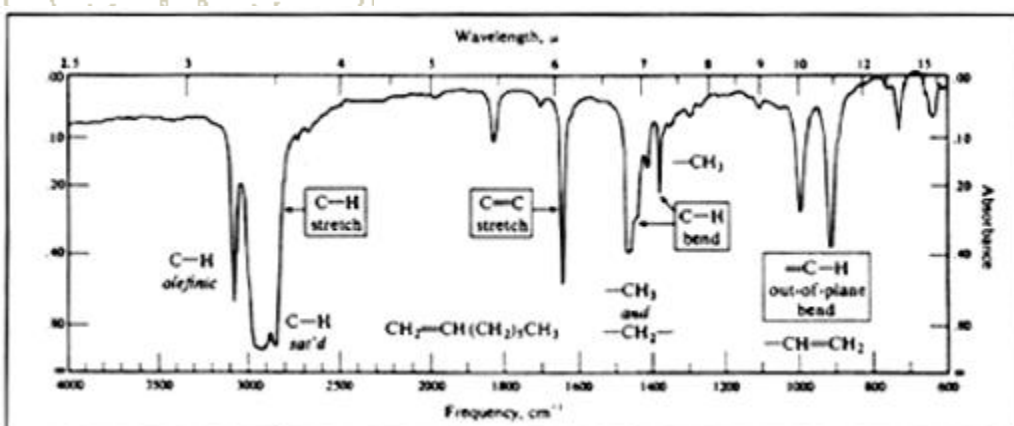


TABLE 3. INFRARED ABSORPTIONS FROM PURE COMPOUNDS

Wave Number cm^{-1}	Bonds (s) Responsible	Name or group or bond	Description and comments**
4000-3120	O-H	alcohol	strong and broad
3600-3100	$\begin{array}{c} \text{H} \\ \\ \text{-N-} \\ \\ \text{H} \end{array}$	amine	medium doublet (1*) singlet (2*)
3340-3220	$\equiv\text{C-H}$	"sp" C-H bond	strong and sharp
3200-3000	$\equiv\text{C-H}$	"sp ³ " C-H bond	variable and sharp, may be doublet
3000-2830	-C-H	"sp ³ " C-H bond	strong doublet
2300-2100	$\begin{array}{c} \text{C}\equiv\text{C} \\ \text{C}\equiv\text{N} \end{array}$	acetylene nitrile	variable, sharp
1750-1710	$\begin{array}{c} \text{-C=O} \\ \\ \text{O} \\ \\ \text{R} \end{array}$	ester (the C is single-bonded (due to C-O stretch) to -OR')	very strong, sharp
1725-1680	C=O	ketone	strong!, sharp/broad
1700-1630	$\begin{array}{c} \text{C=O} \\ \\ \text{N} \end{array}$	amide	strong!, sharp (due to C=O)
1620-1500	$\begin{array}{c} \text{C=C} \\ \text{or} \\ \text{Benzene ring} \end{array}$	olefin or aromatic	variable, several bands must be confirmed by presence of double-bond C-H at 3040-3000 cm^{-1} several weak overtones
1900-1600		aromatic	
1485-1410	$\begin{array}{c} \text{-CH}_2\text{-} \\ \text{or} \\ \text{-CH}_3 \end{array}$	aliphatic (alkane)	medium sharp

* The exact location depends on the attached group(s).

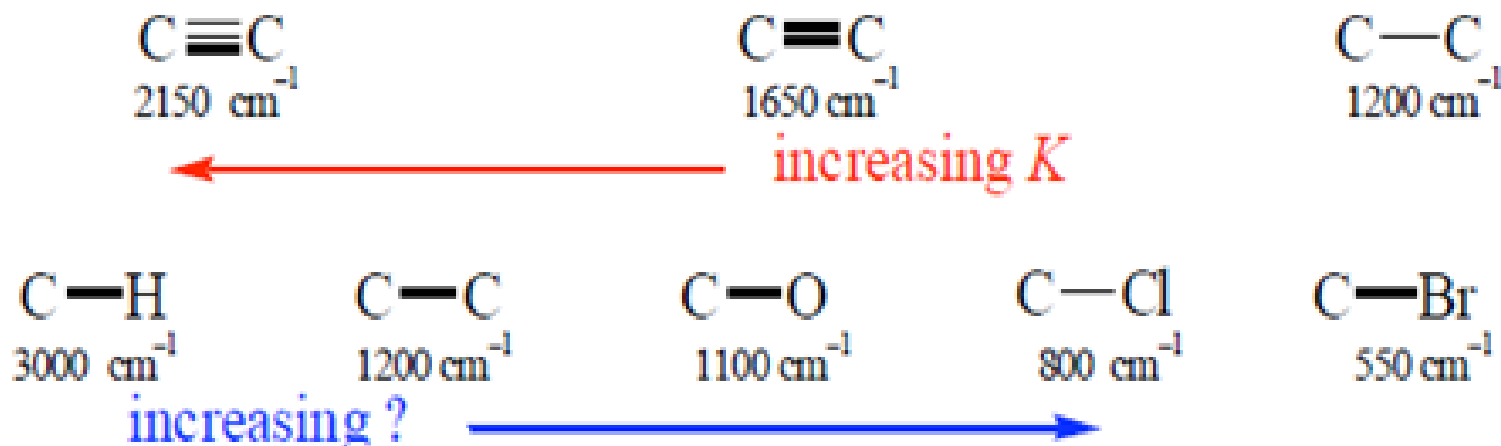
** Meaning of Terms

- sharp: an absorption band 10-50 cm^{-1} wide
- broad: an absorption band 100-300 cm^{-1} wide
- very broad: an absorption band 400-1000 cm^{-1} wide
- strong: one of the most prominent bands in the spectrum
- medium: an average band
- weak: a small absorption band; may be obscured easily
- variable: strength and location of these bands depends upon the molecule in question, e.g., the $\text{-C}\equiv\text{N}$ band can be strong or very weak.

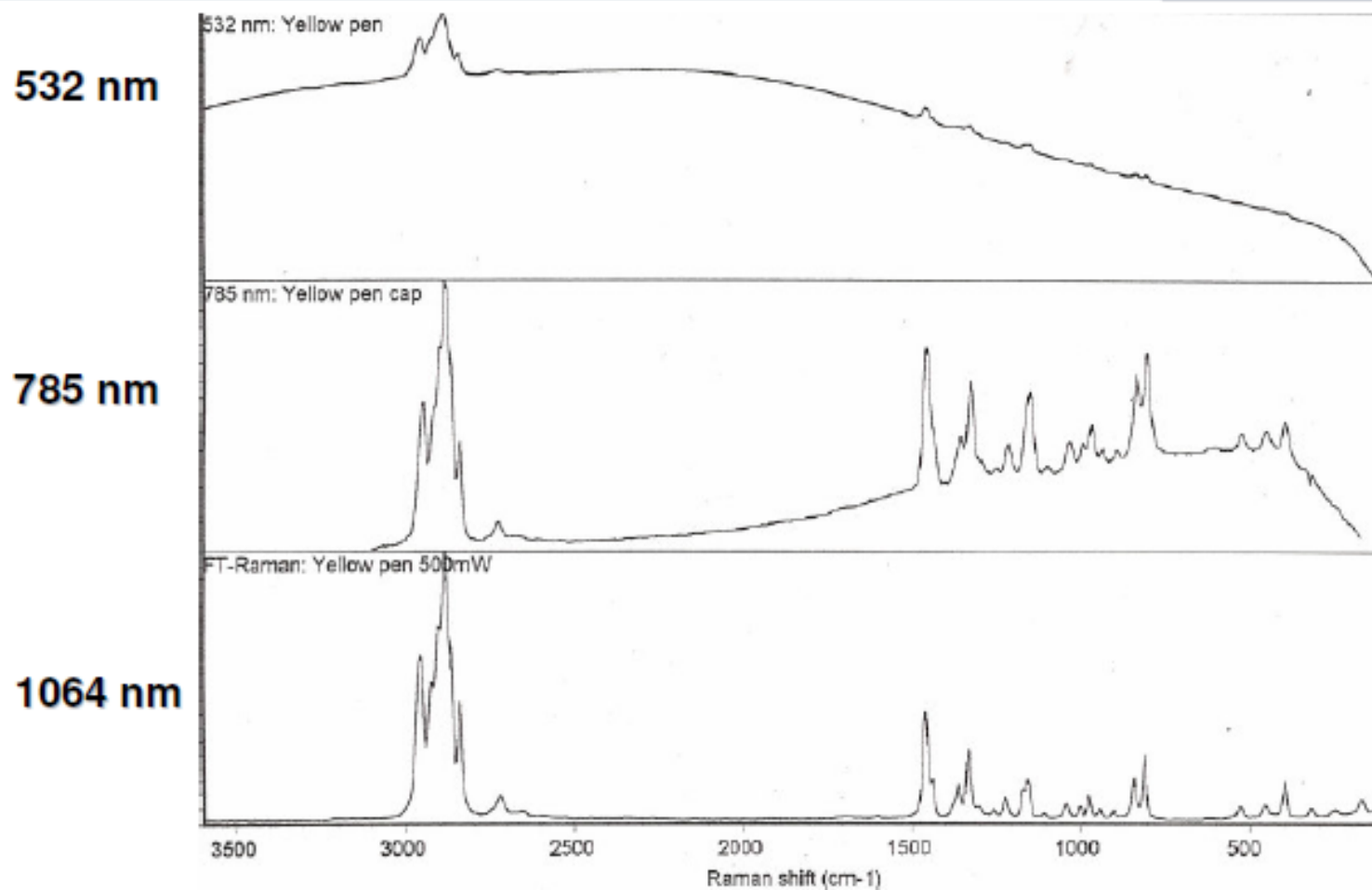
Os picos são usados para identificar os grupos químicos, isto é:
os tipos de ligação

EXEMPLOS de frequências características de ligações “stretching” (alongamento)

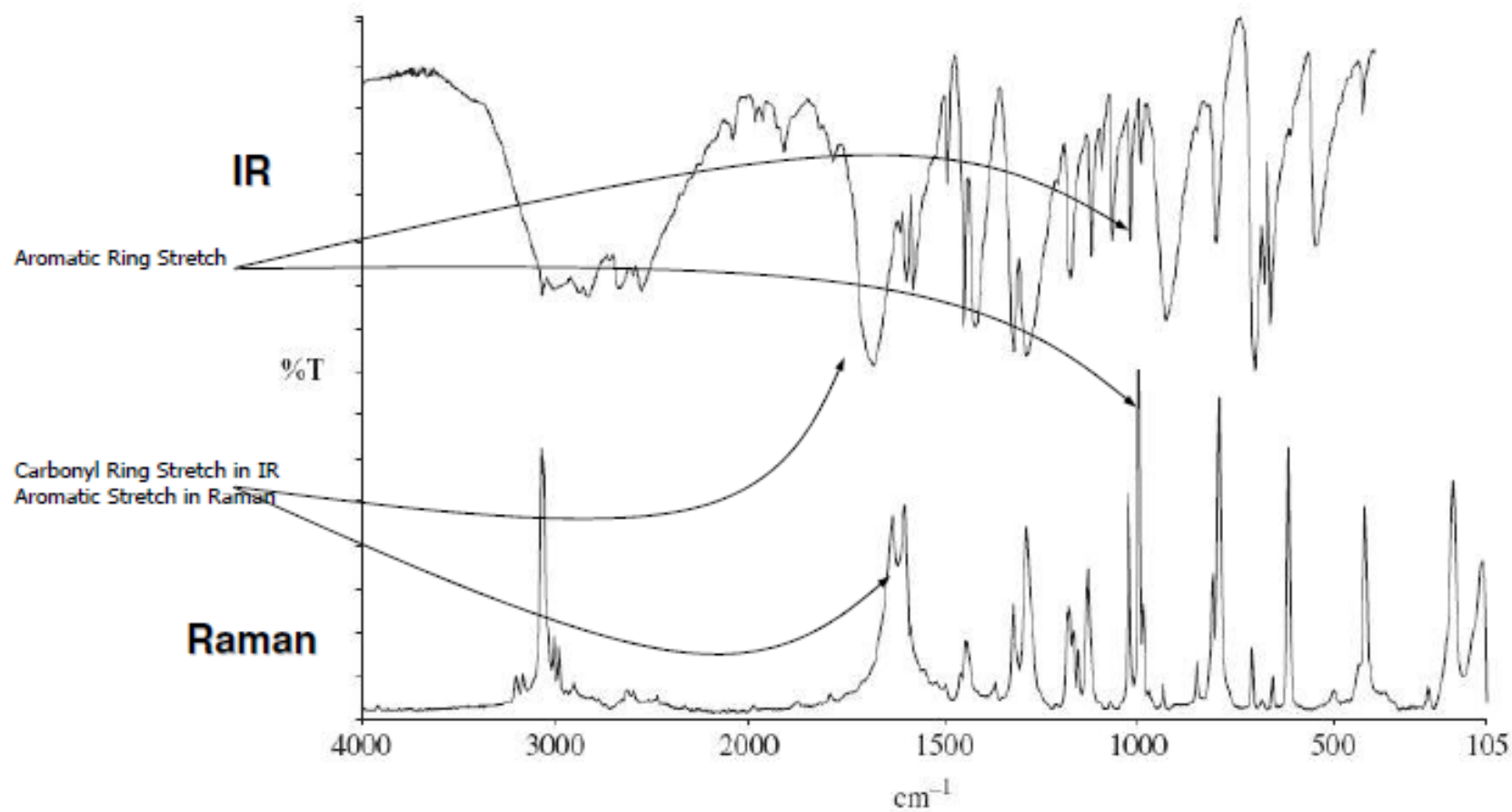
O-H	3600 cm^{-1}	C-C	1200 cm^{-1}
N-H	3400 cm^{-1}	aromatic C-C	1450-1600 cm^{-1}
C-H	3000 cm^{-1}	C=C	1650 cm^{-1}
C-O/C-N/C-C	1100-1200 cm^{-1}	C≡C	2200 cm^{-1}



Espectro de uma tampa de caneta



Espectro de IR e Raman do Ácido Benzóico



Exemplos espectros Raman com laser de 514.5nm

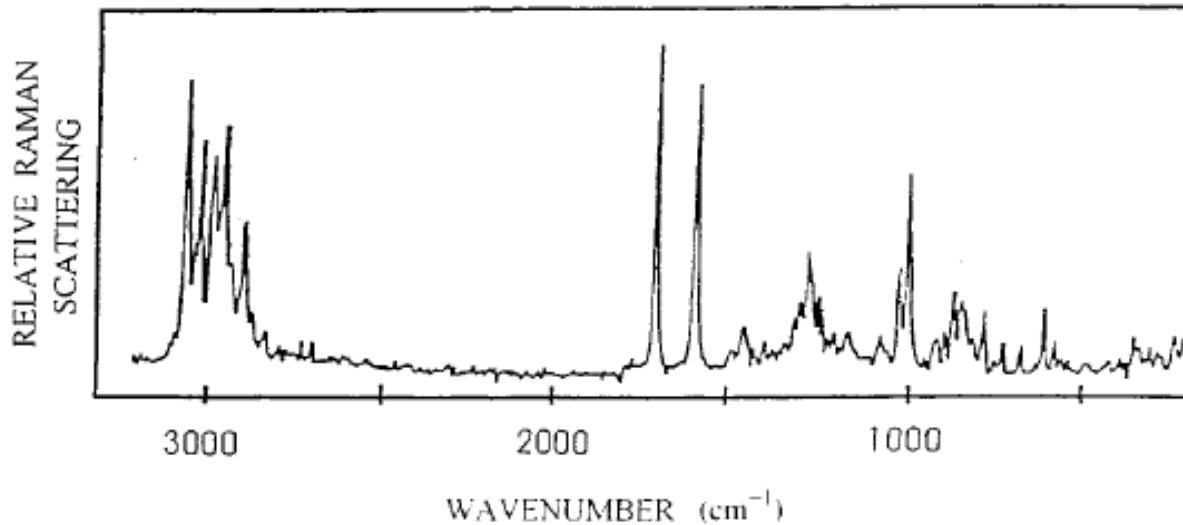


Figure 16 Raman spectrum of cocaine chlorohydrate ($\lambda_0 = 514.5$ nm; laser power = 0.1 mW).

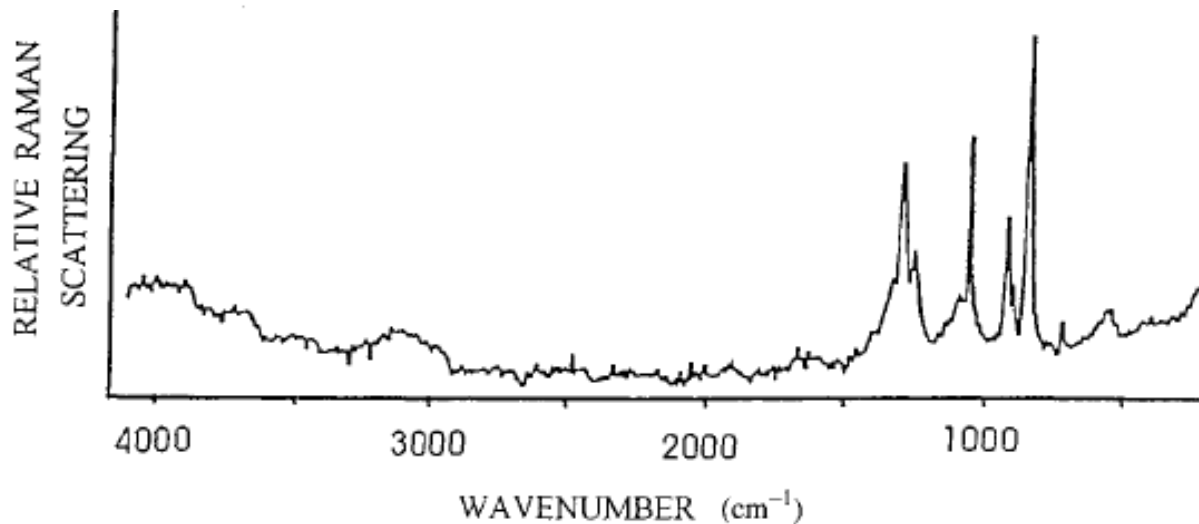
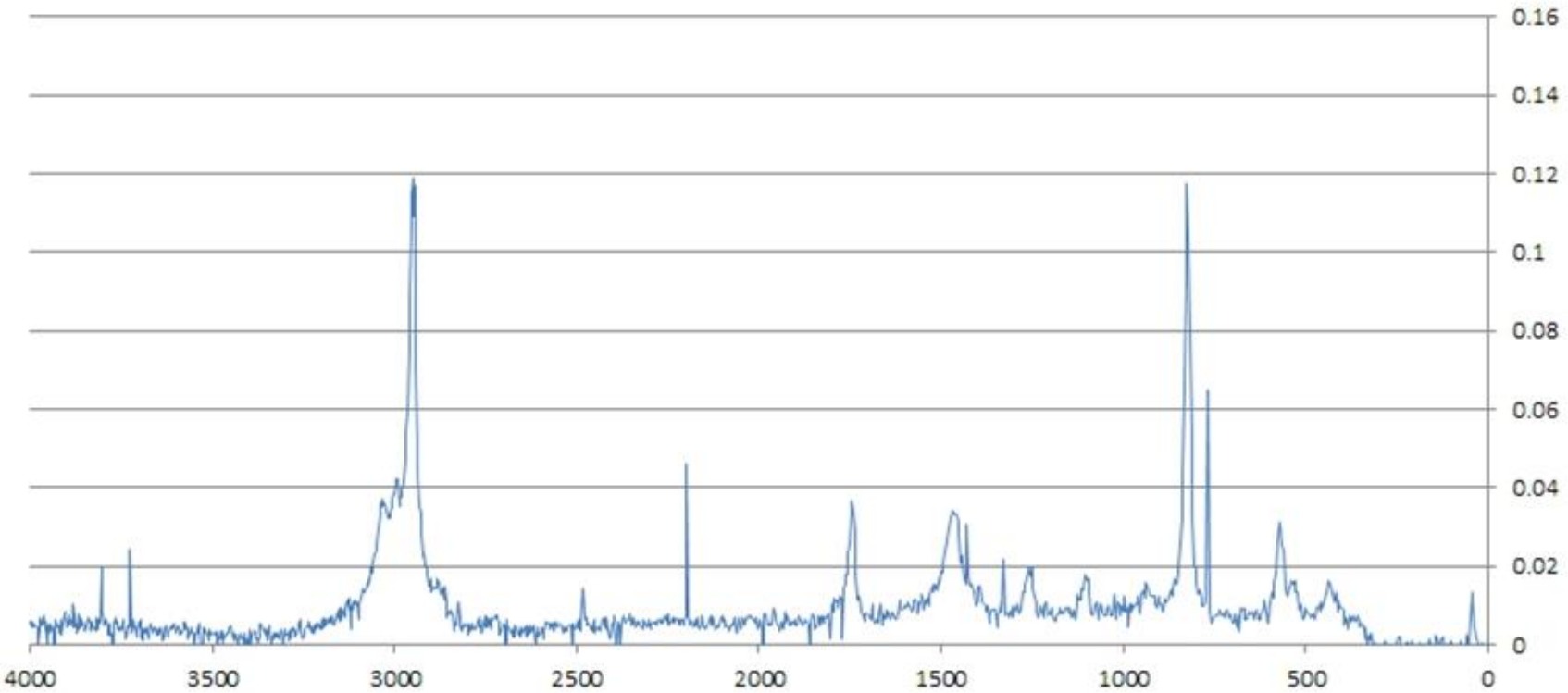
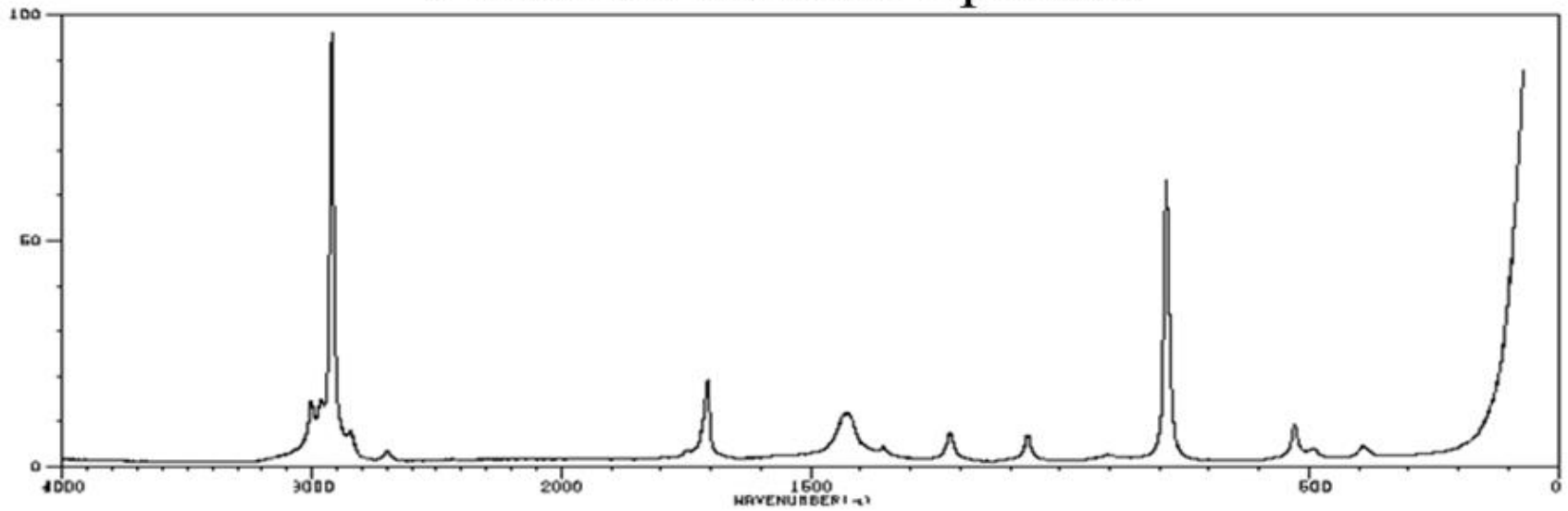


Figure 17 Raman spectrum of nitroglycerine (1% in KBr; $\lambda_0 = 514.5$ nm; laser power = 500 mW).

Acetone Raman Spectra



Outras técnicas: RR, SERS and SERRS

RR: Resonance Raman

Ocorre quando a energia de um fóton do laser coincide com o de uma transição eletrônica de um grupo cromóforo do sistema em estudo.

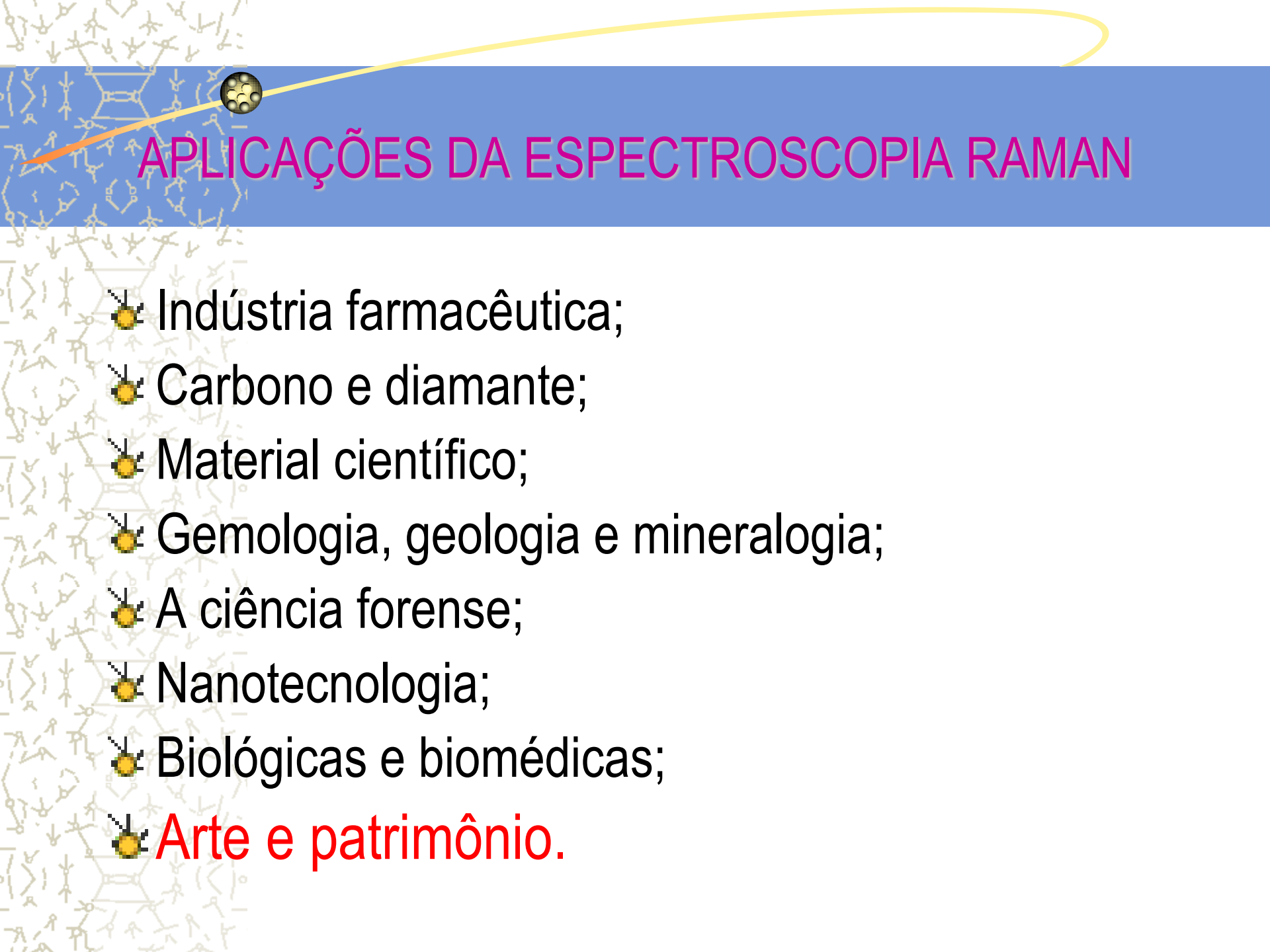
SERS: Surface Enhanced Raman Spectroscopy

O espectro Raman de uma molécula que é absorvida sobre uma superfície de ouro ou prata pode ter o sinal significativamente aumentado.

SERRS: Surface Enhanced Resonance Raman Spectroscopy

Similar ao SERS, mas usa um laser com energia que coincide com o grupo cromóforo da molécula em estudo.

SERS / SERRS podem aumentar o sinal em até bilhões de vezes.



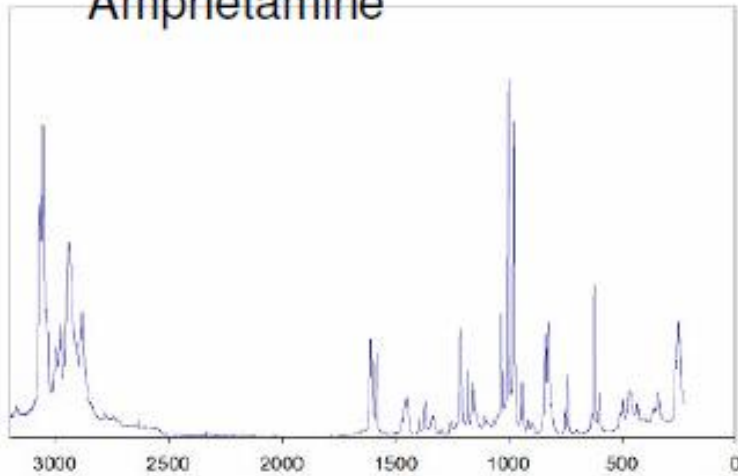
APLICAÇÕES DA ESPECTROSCOPIA RAMAN

- ✦ Indústria farmacêutica;
- ✦ Carbono e diamante;
- ✦ Material científico;
- ✦ Gemologia, geologia e mineralogia;
- ✦ A ciência forense;
- ✦ Nanotecnologia;
- ✦ Biológicas e biomédicas;
- ✦ **Arte e patrimônio.**

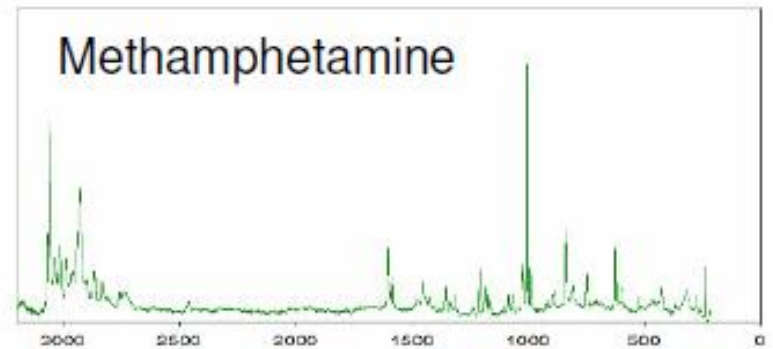
Aplicações



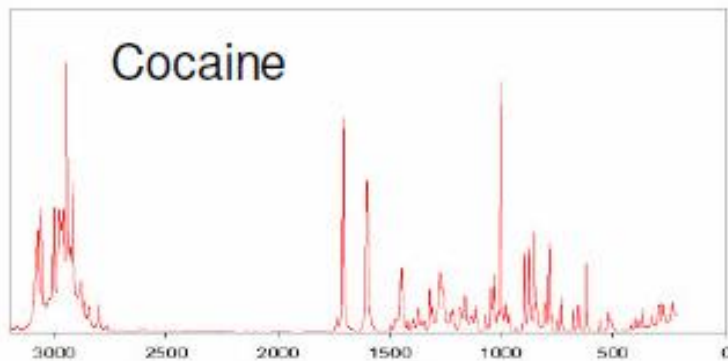
Amphetamine



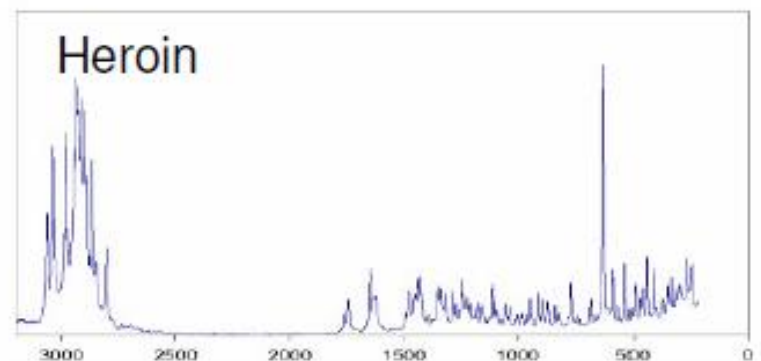
Methamphetamine



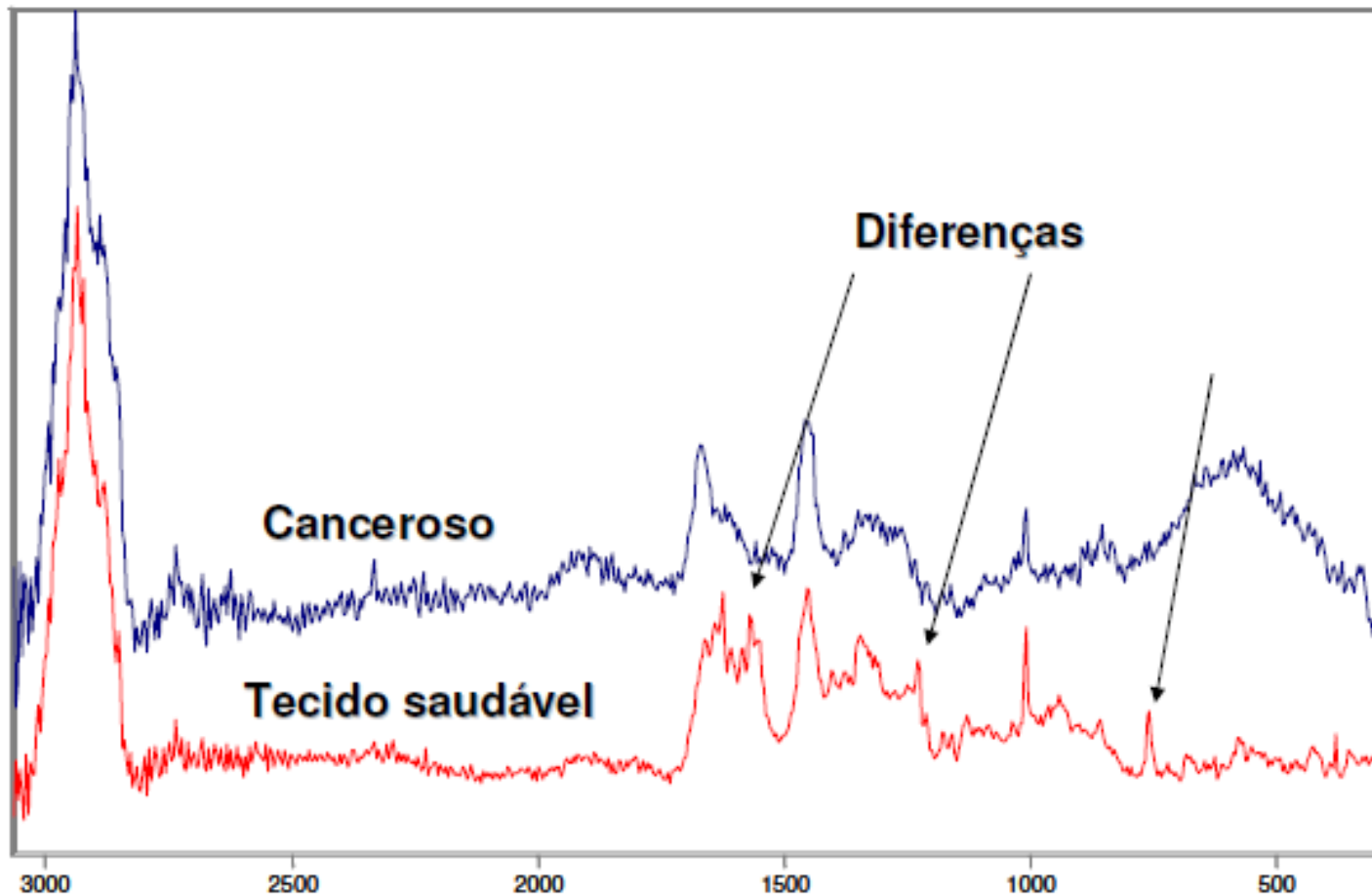
Cocaine



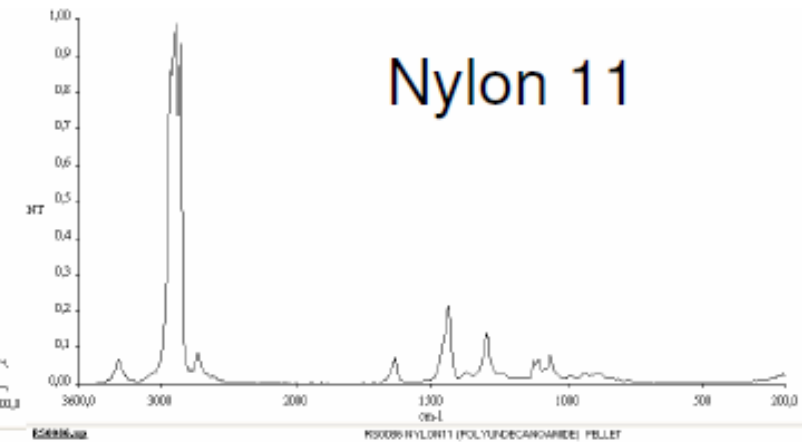
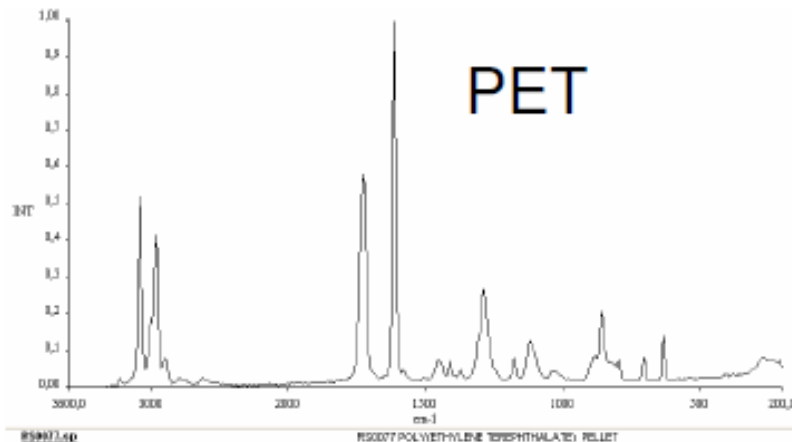
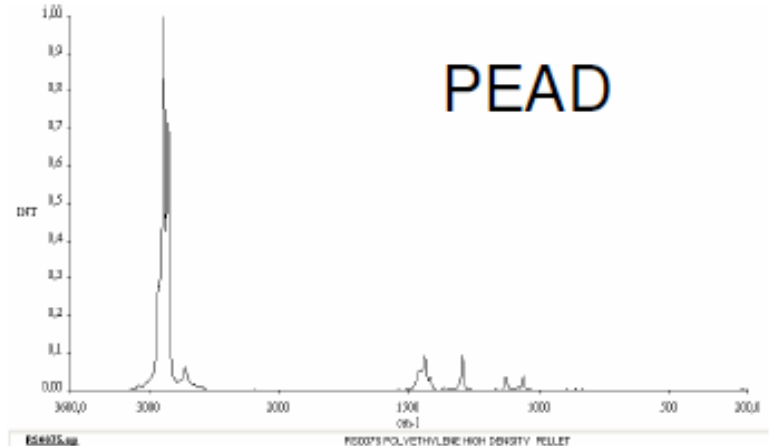
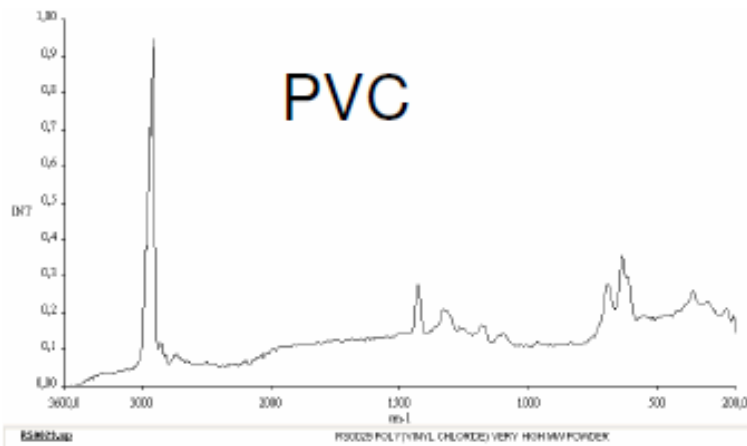
Heroin



Aplicações: tecido Canceroso



Aplicações: Polímeros



- ▶ Cada espécie química, seja uma substância aglutinante, veículo ou verniz, pigmento, corante fornece um espectro que é como sua impressão digital

Espectros Raman – Aplicações Pigmentos

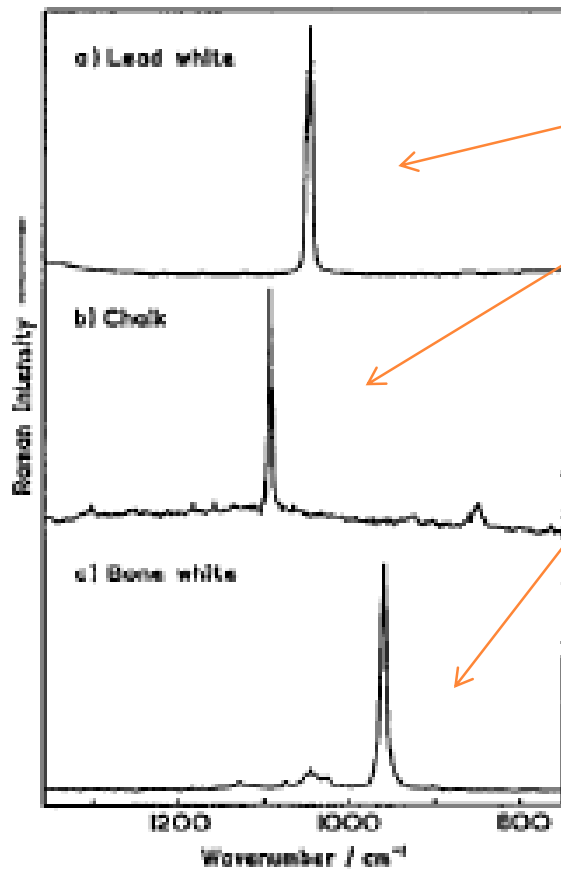
Wave number $k=1/\lambda$

Lead white: $k=1050 \text{ cm}^{-1}$ (PbCO_3)

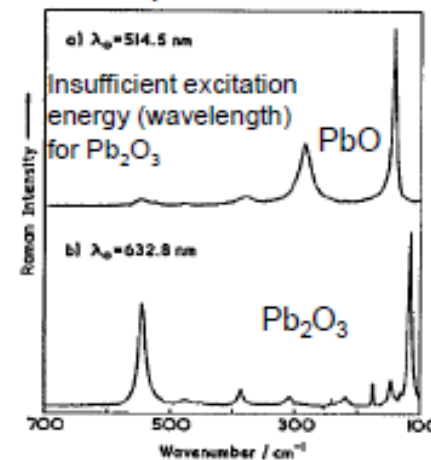
Chalk: $k=1085 \text{ cm}^{-1}$ (CaCO_3)

Bone white: $k=960 \text{ cm}^{-1}$ ($\text{Ca}_3(\text{PO}_4)_2$)

Red lead: $k=226 \text{ cm}^{-1}$, 313 cm^{-1} , 390 cm^{-1} , 549 cm^{-1} (Pb_2O_3)



Raman spectrum of red lead

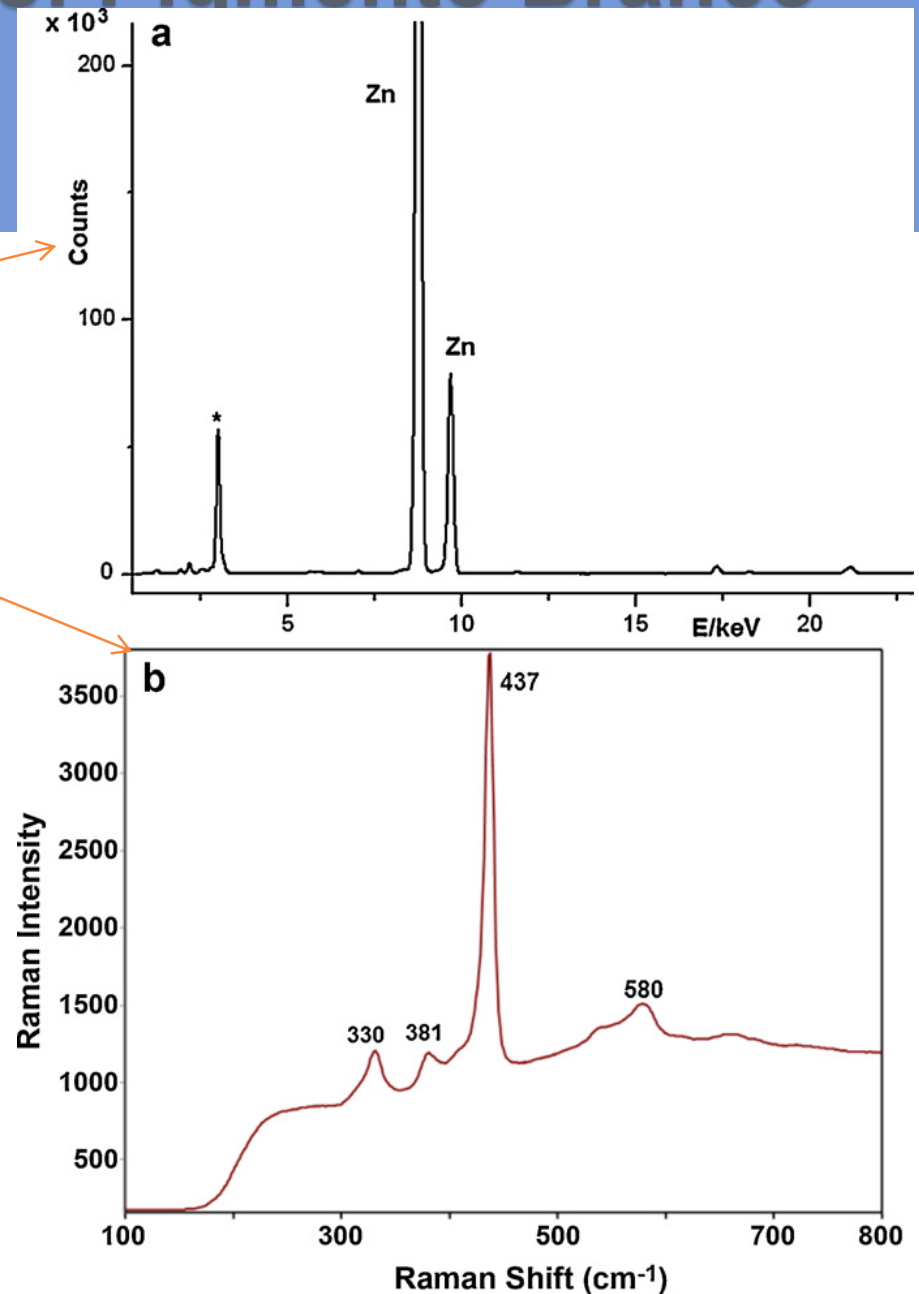


Library of FT-Raman spectra of pigments, minerals, pigment media and varnishes, and supplement to existing library of Raman spectra of pigments with visible excitation Lucia Burgio, Robin J.H. Clark, *Spectrochimica Acta Part A* 57 (2001) 1491

Aplicações: Pigmento Branco

▶ Acoplar as análises de ED-XRF com Raman

Espectros EDXRF e micro Raman do pigmento branco. O pico marcado com * no espectro de EDXRF é devido ao equipamento e não pertence a amostra analisada



Probing for yellow pigments

Historical yellow pigments: Yellow iron oxide

Orpiment

Lead tin antimony yellow

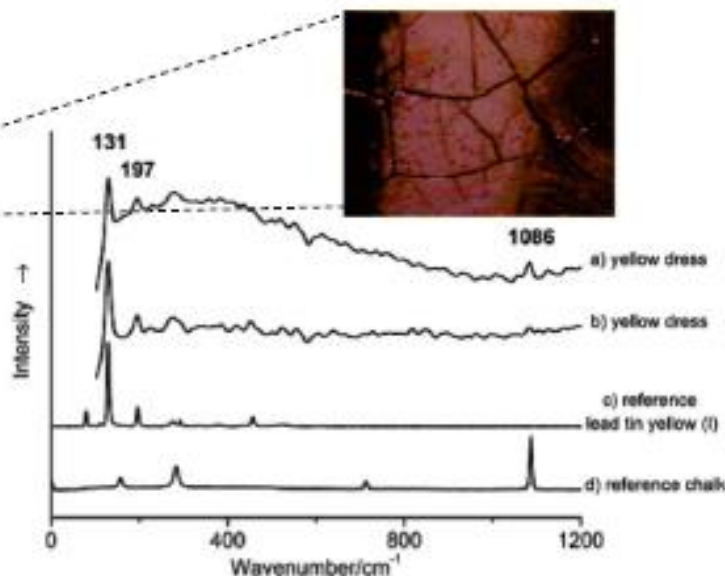
Lead antimonate

FeO

As_2S_3

$\text{Pb}_2\text{SnSbO}_{6.5}$

$\text{Pb}_2\text{Sb}_2\text{O}_7$



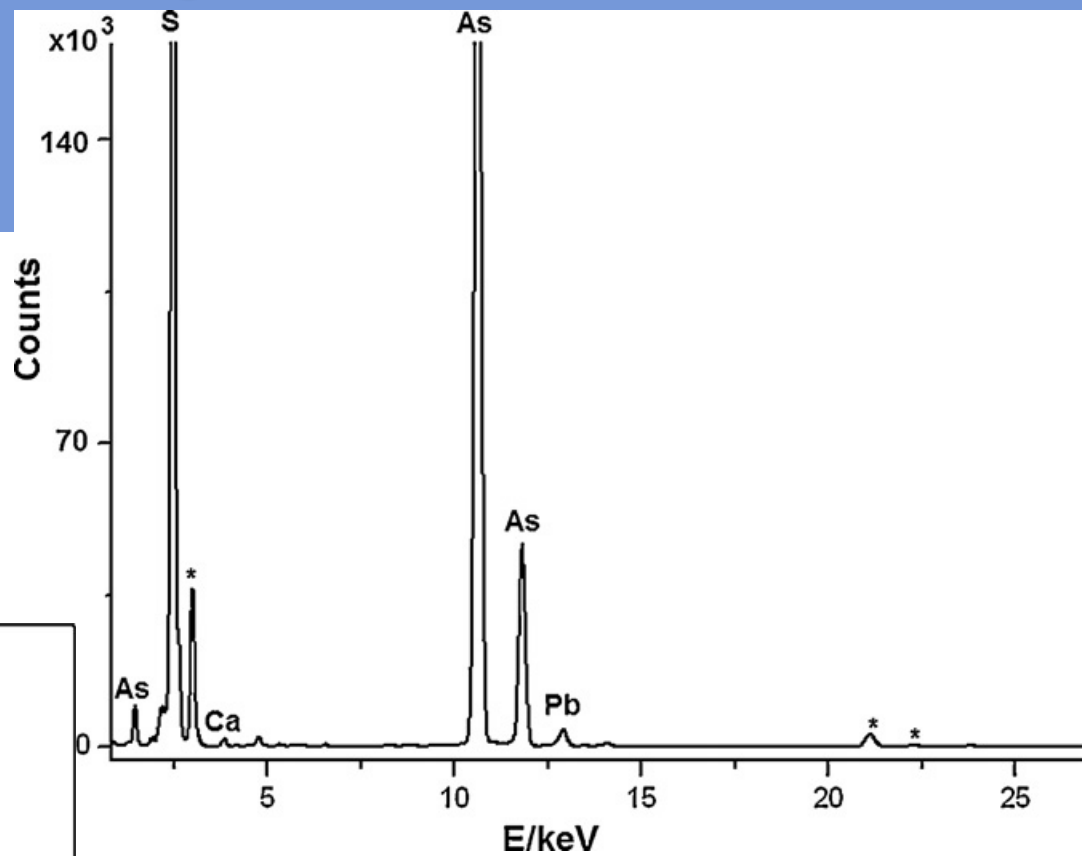
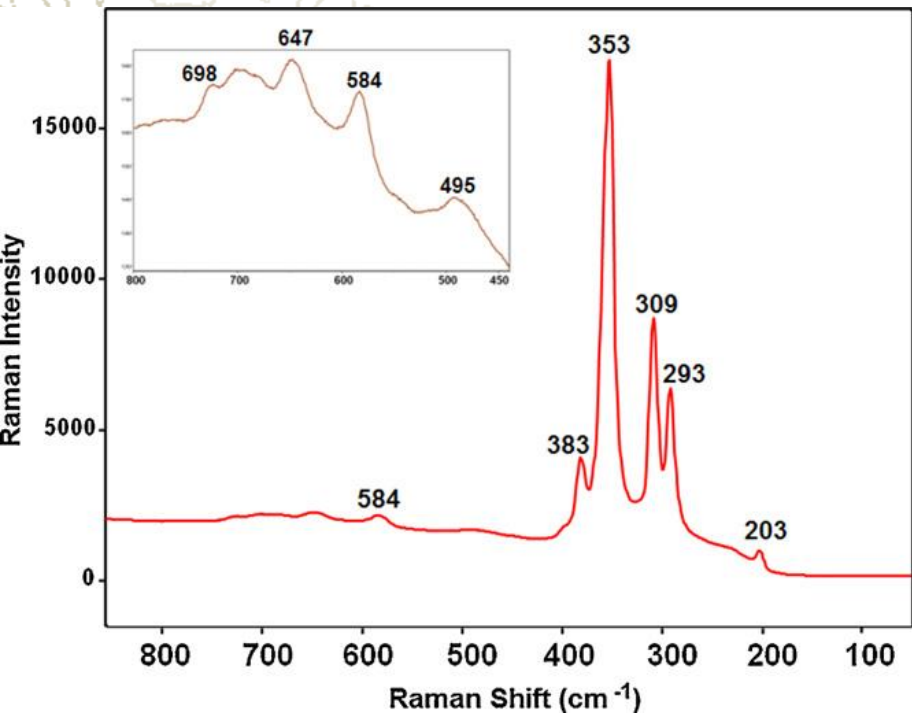
Clear identification of lead based yellow mixed with Calcite as used by Vermeer during his late period of painting ~1700 AD shortly before his untimely death in the age of 43 in 1705.

L. Burgio et al. Anal Chem. 77, 1261 (2005)

Michael Wiescher Department of Physics, University of Notre Dame, IN Updated: April 4, 2014

Aplicações: Pigmento amarelo

▶ Acoplar as análises de ED-XRF com Raman

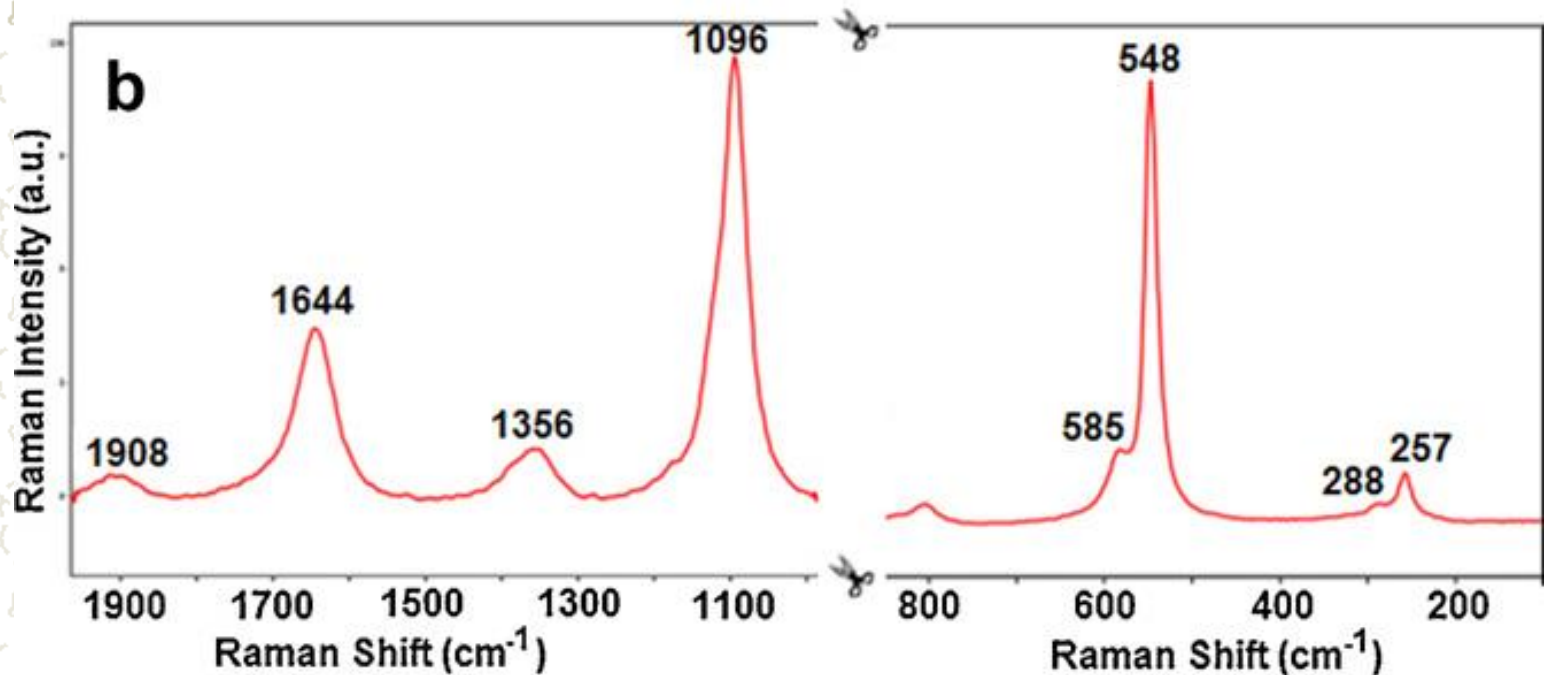


Orpiment: As₂S₃

Aplicações: Pigmento azul

XRF: Si, Al, S

Raman: ultramarino ou lápis lazuli



Blue	Azurite	$2\text{CuCO}_3 \cdot \text{Cu}(\text{OH})_2$	Mineral
	Cerulean blue	$\text{CoO} \cdot \text{SnO}_2$	Synthetic, 19th century
	Cobalt blue	$\text{CoO} \cdot \text{Al}_2\text{O}_3$	Synthetic, 18th century
	Cobalt violet	$\text{Co}_3(\text{PO}_4)_2$	Synthetic, 19th century
	Egyptian blue	$\text{CaO} \cdot \text{CuO} \cdot 4\text{SiO}_2$	Synthetic ca 3000 BC
	Han blue	$\text{BaCuSi}_4\text{O}_{10}$	Mineral
	Han purple	$\text{BaCuSi}_2\text{O}_6$	Mineral
	Lazurite/Ultramarine /Lapis lazuli	$\text{Na}_{8-10}\text{Al}_6\text{Si}_6\text{O}_{24}\text{S}_{2-4}$	Synthetic, 19th century /Mineral
	Manganese blue	$\text{BaSO}_4 \cdot \text{Ba}_3(\text{MnO}_4)_2$	20th century
	Posnjakite	$\text{CuSO}_4 \cdot 3\text{Cu}(\text{OH})_2 \cdot \text{H}_2\text{O}$	Mineral
	Prussian blue	$\text{Fe}_4(\text{Fe}[\text{CN}]_6)_3$	Synthetic, 18th century
	Smalt	$\text{K}_2\text{O}, \text{SiO}_2, \text{CoO}$	16th century

Azurite and Malachite

Different molecular components in complex molecules create certain Raman bands

$k=1000 \text{ cm}^{-1}$ vibration between anion and cation in salt

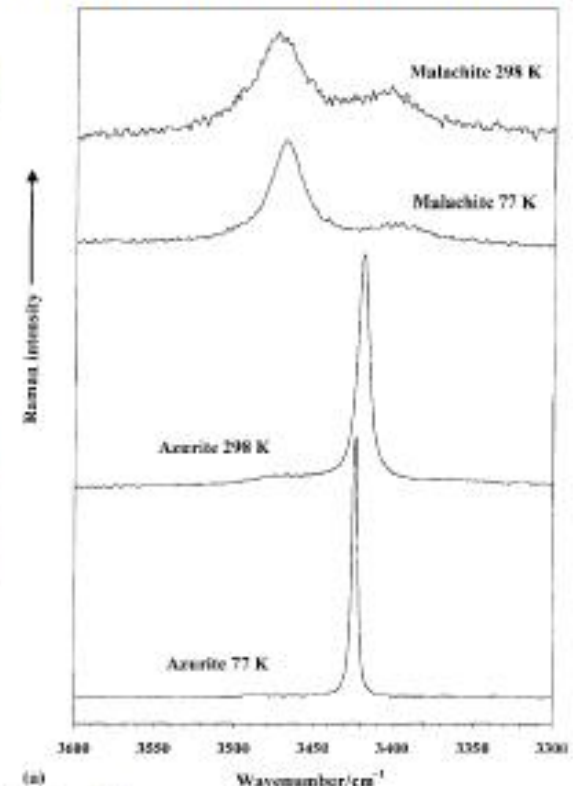
Lead white: $k=1050 \text{ cm}^{-1}$ (PbCO_3)

Bone white: $k=960 \text{ cm}^{-1}$ ($\text{Ca}_3(\text{PO}_4)_2$)



Malachite: $\text{Cu}^{2+}_2(\text{CO}_3)(\text{OH})_2$

Azurite: $\text{Cu}^{2+}_3(\text{CO}_3)_2(\text{OH})_2$



Generates vibration modes of three groups: O-H, C-O₃, Cu-O

OH: $k=952, 1035 \text{ cm}^{-1}$ (bending mode) $3453, 3427 \text{ cm}^{-1}$ (stretching mode)

CO₃: $k=817, 837, 1090 \text{ cm}^{-1}, 1415, 1490 \text{ cm}^{-1}, 747, 769 \text{ cm}^{-1}$ (vibrational modes)

Cu-O: $k=345, 455 \text{ cm}^{-1}$ (bending mode), $k=400, 495 \text{ cm}^{-1}$ (stretching mode)

Aplicações:

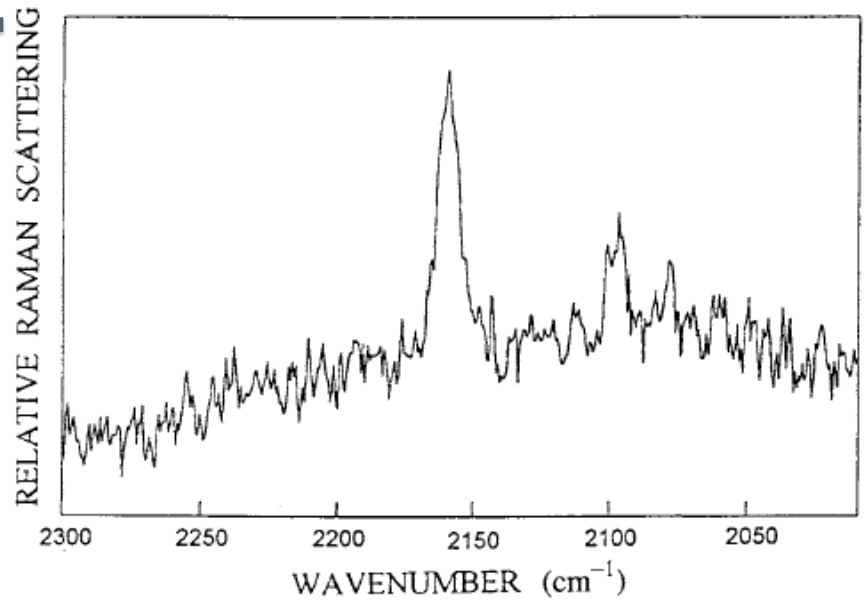


Figure 6 Raman spectrum of Prussian blue from a drawing by Constantin Guys (see text).

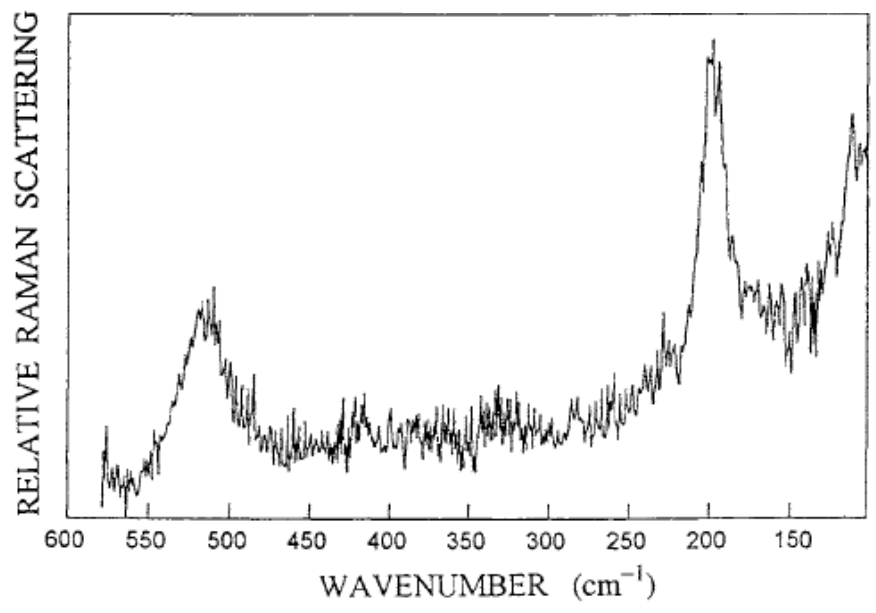


Figure 7 Raman spectrum of cobalt blue.

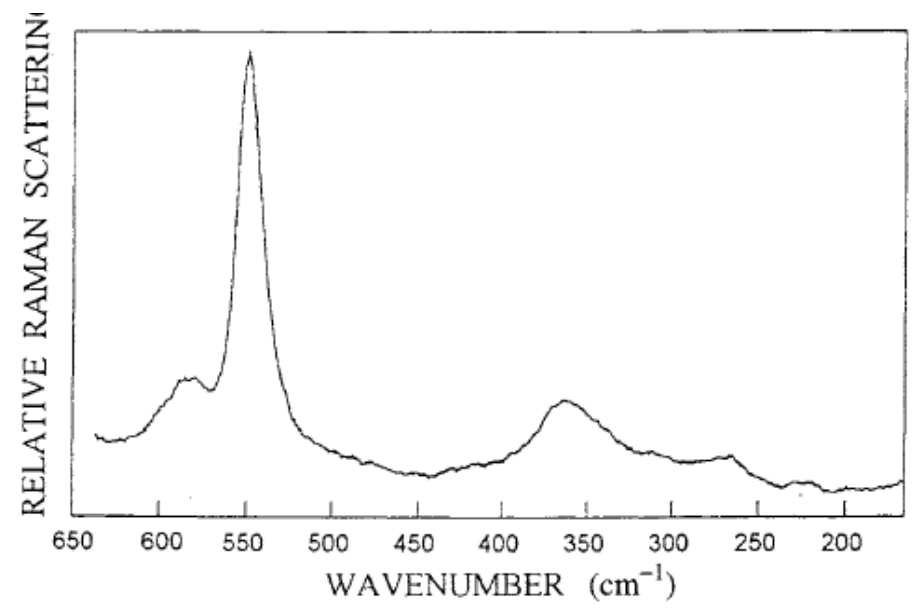


Figure 8 Raman spectrum of ultramarine blue.

Aplicações: Pigmentos Picos Raman

Pigmento	Picos Raman (cm-1)	
Amarelo de Cadmio	302,610	CdS
Amarelo de Cromo	339,361,378,403,840,	PbCrO4
Amarelo de Estrôncio	337,858,866,891	SrCrO4
Anatase	145,396,514,637	TiO2
Azul da Prússia	2150	Século XVIII
Bário	987	BaSO4
Branco de Zinco	437	ZnO
Calcita	282,712,1086	
chalk	1086	
gypsum	176,1010	
Orpiment	495,584,647,698	As2S3
Vermelho ocre	194,413	

Ref.: Sevim Akyuza, Tanil Akyuza, Gulder Emreb, Ahmet Gulecb, Sait Basaran, "Pigment analyses of a portrait and paint box of Turkish artist Feyhman Duran (1886–1970): The EDXRF, FT-IR and micro Raman spectroscopic studies". Spectrochimica Acta Part A 89 (2012) 74– 81.

Aplicações: análise TiO₂

Art, Jewelry and Forensic Science 433

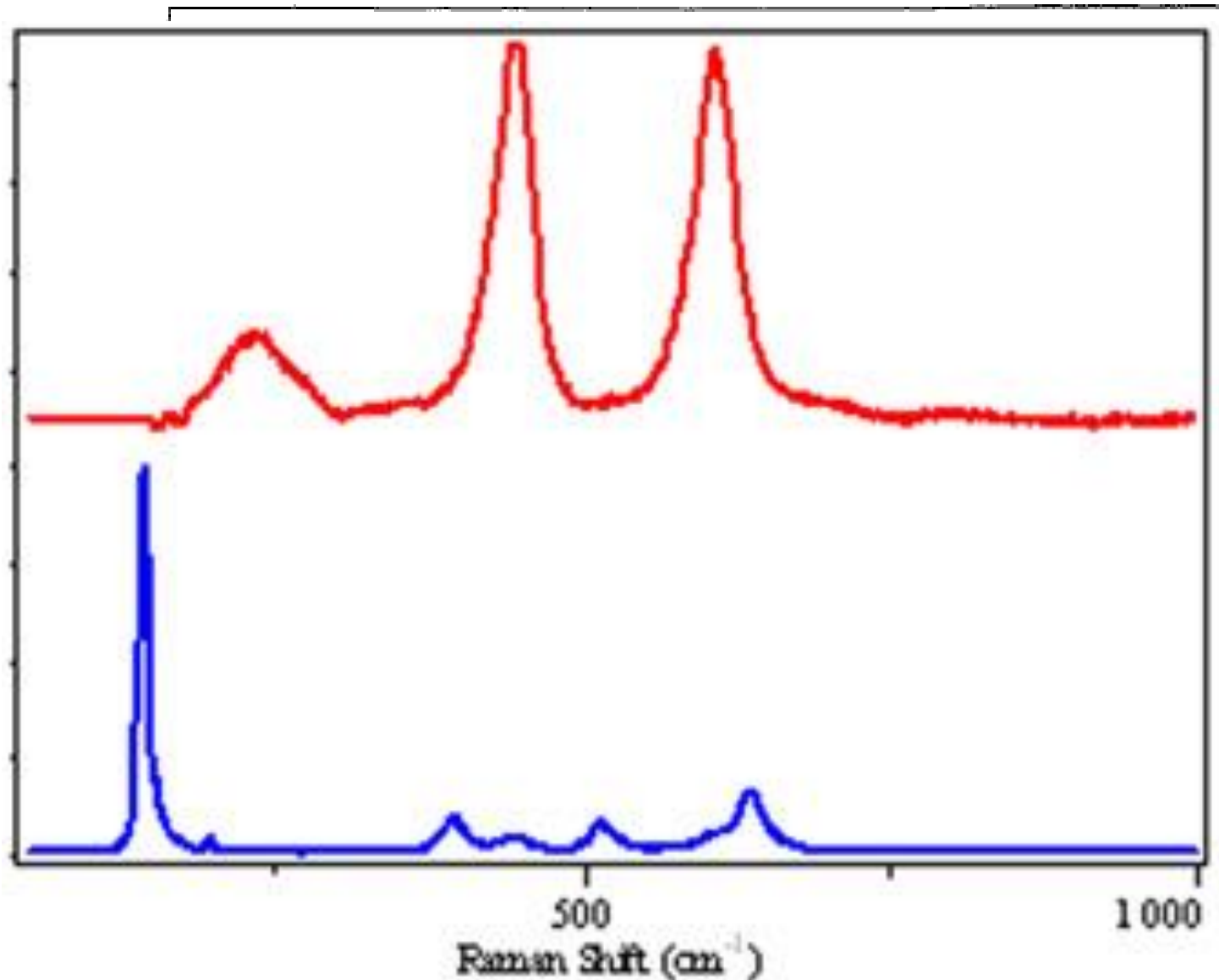
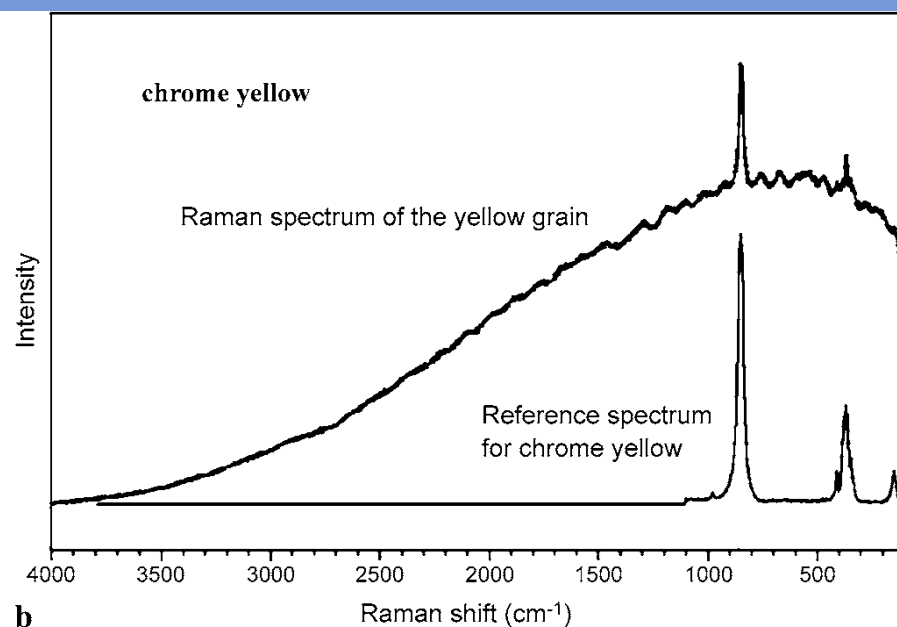
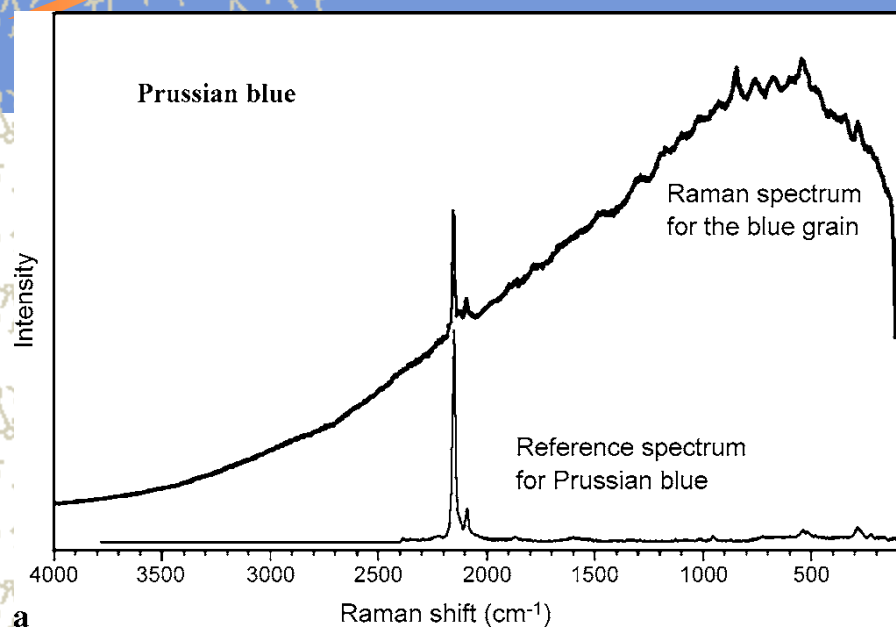


Figure 2. Raman spectra of TiO₂: (a) anatase; (b) rutile.

Exemplos de espectros Raman comparados com o sinal de fluorescência



Raman spectra taken on the (a) blue and (b) yellow grains, corresponding to the Prussian blue and chrome yellow pigments, respectively. Even though the background due to the fluorescence of the binding medium was rather high in both spectra, the characteristic Raman signal was attributed without difficulty to the appropriate pigments

Experimental set-up during the analysis of the mediaeval manuscript Liber Floridus



A. Deneckere, M. De Reu, M. P. J. Martens, K. De Coene, B. Vekemans, L. Vincze, Ph. De Maeyer, P. Vandenabeele and L. Moens, *Spectrochim. Acta, Part A*, 2011, 80, 125

Testing ink pigments of medieval monastery handwriting of letter R

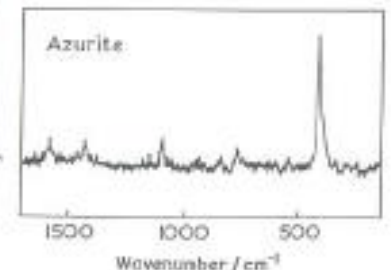
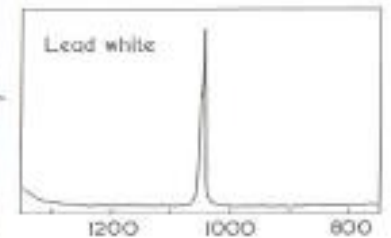
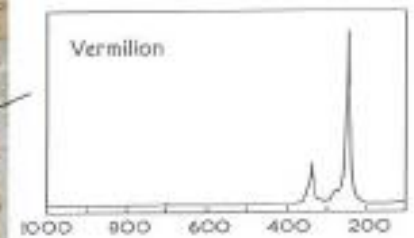
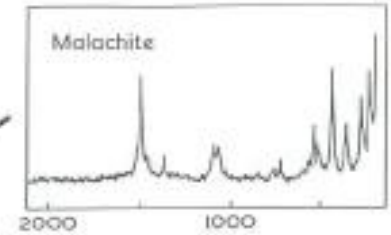
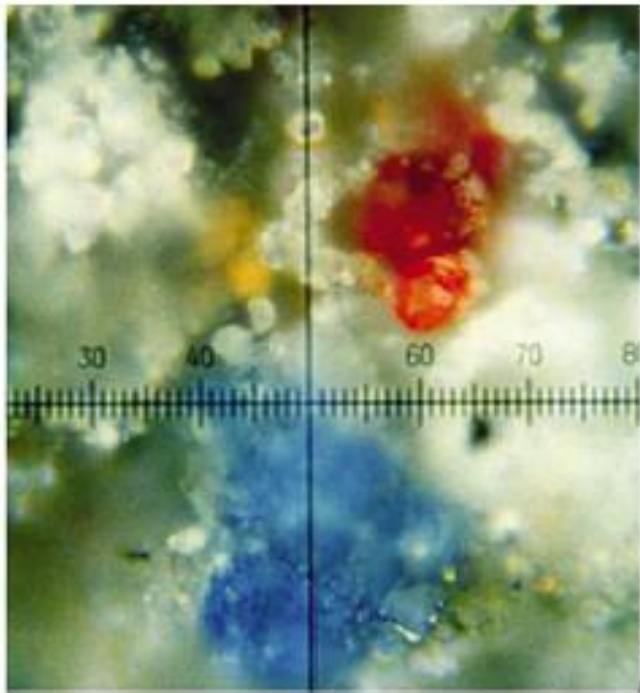
Lead white: $k=1050 \text{ cm}^{-1}$ (PbCO_3)

Malachite: $(\text{Cu}^{2+}_2(\text{CO}_3)(\text{OH})_2)$ ($k= 1490 \text{ cm}^{-1}$)

Azurite: $(\text{Cu}^{2+}_3(\text{CO}_3)_2(\text{OH})_2)$ ($k= 495 \text{ cm}^{-1}$)

Vermillion: $k= 253 \text{ cm}^{-1}$ 285 cm^{-1} , 343 cm^{-1} (HgS) (cinnabar)

Minium: $k=226 \text{ cm}^{-1}$, 313 cm^{-1} , 390 cm^{-1} , 549 cm^{-1} (Pb_2O_3)

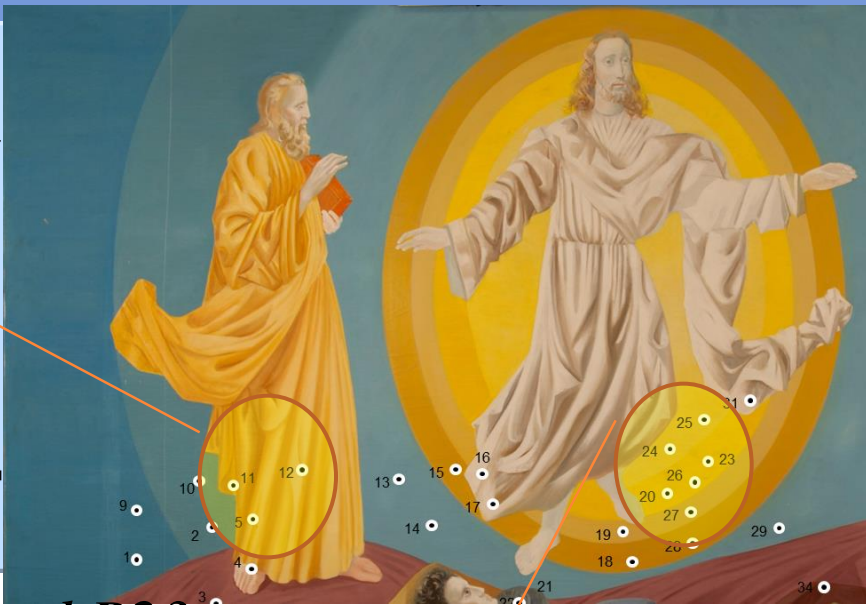
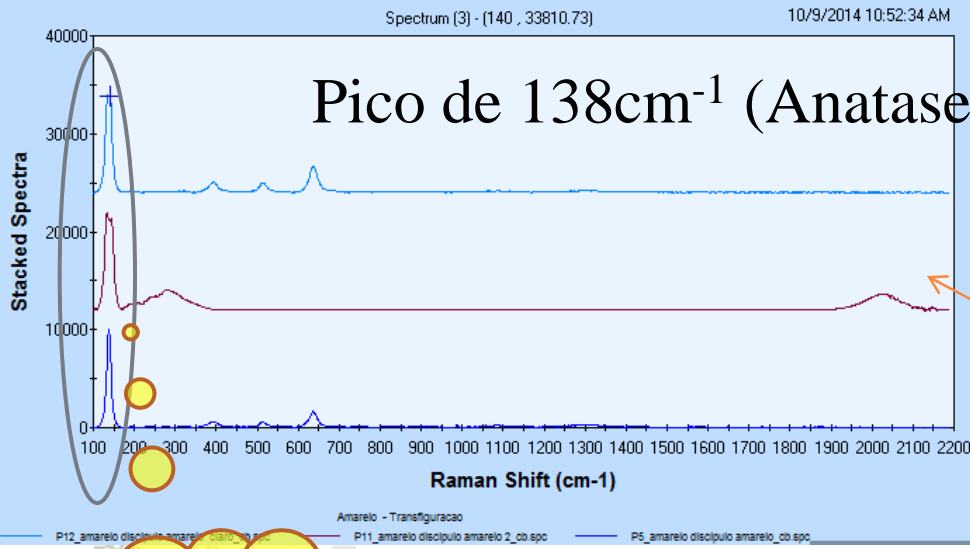


Best et al. Endeavour, New Series 16 (1992) 66-73



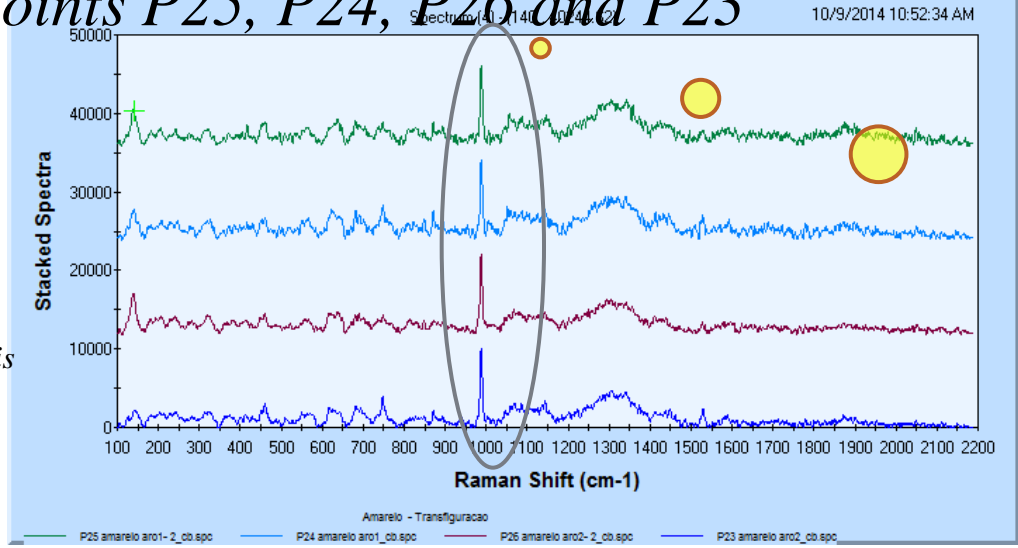
Raman RESULTADOS – PONTOS AMARELOS

Pontos P12, P11 and P5



Pequena quantidade de Ti em pontos amarelos com XRF apresentam alta quantidade de anatase nos pontos Raman

Points P25, P24, P26 and P23



Pico de 988 cm⁻¹ Lithopone (ZnS, BaSO₄). Branco de Chumbo, pico em 1050 cm⁻¹ (pouca quantidade)

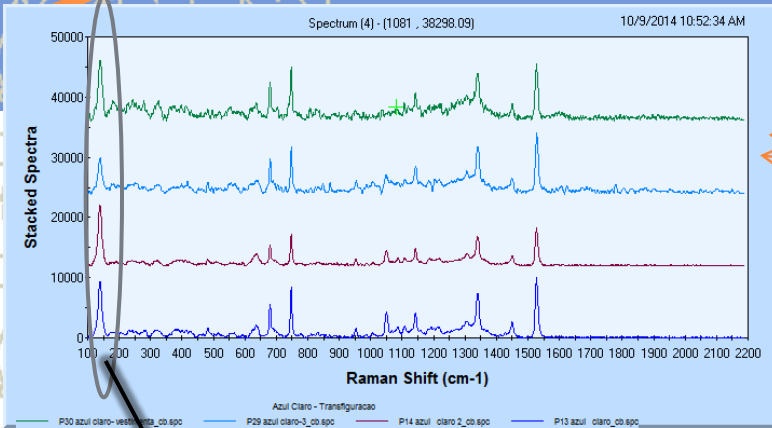
Sem a presença do pico característico do pigmento amarelo (XRF amarelo de Cd)

TiO₂ Anatase, linhas principais 138, 390, 512 e 634cm⁻¹. (<http://cameo.mfa.org/>)

Obra: "Transfiguração" de Candido Portinari (1,99x2,99 m)

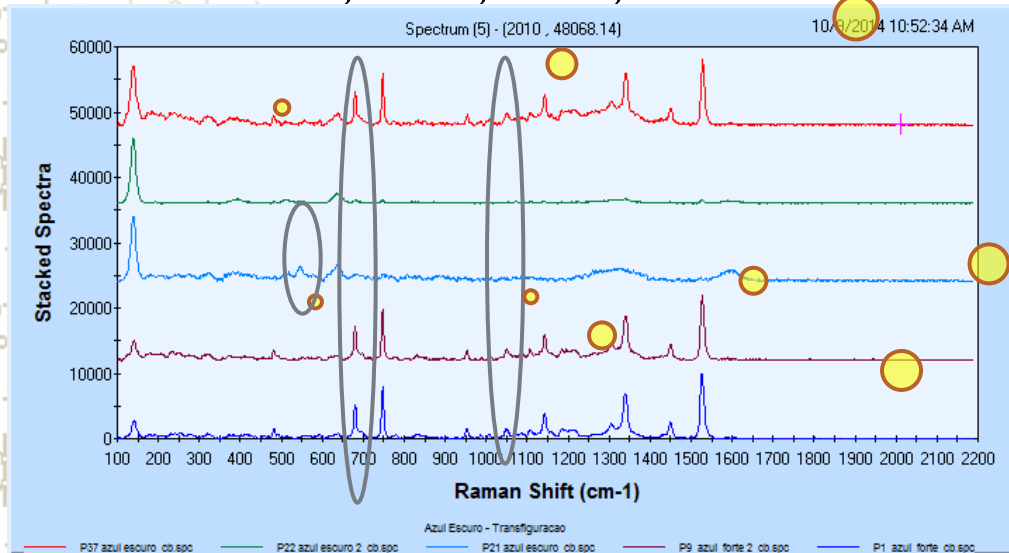
Resultados Raman – pontos BLUE POINTS

Pontos P30, P29, P14 e P13



Pico de 138cm^{-1} (Anatase – TiO_2).

Pontos P37, P22, P21, P9 e P1



Pico de 670cm^{-1}
Azul Cerulean (CoO.SnO_2) e
talves outros picos : $750, 1140,$
 1340 and 1530cm^{-1}

Pico de 1050cm^{-1}
Branco de chumbo (pouca
quantidade)

peak at 546 and 1090cm^{-1}
Ultramar Blue

Outras Aplicações:

(i) biological:

blood, semen, urine

skin

hair (natural or textiles), feathers

vegetal residues, e.g. fibers, wood, paper

(ii) mineral:

gems and other geological specimens

metallic residues

(iii) synthetic materials:

explosives and propellants

plastics and composites

paints

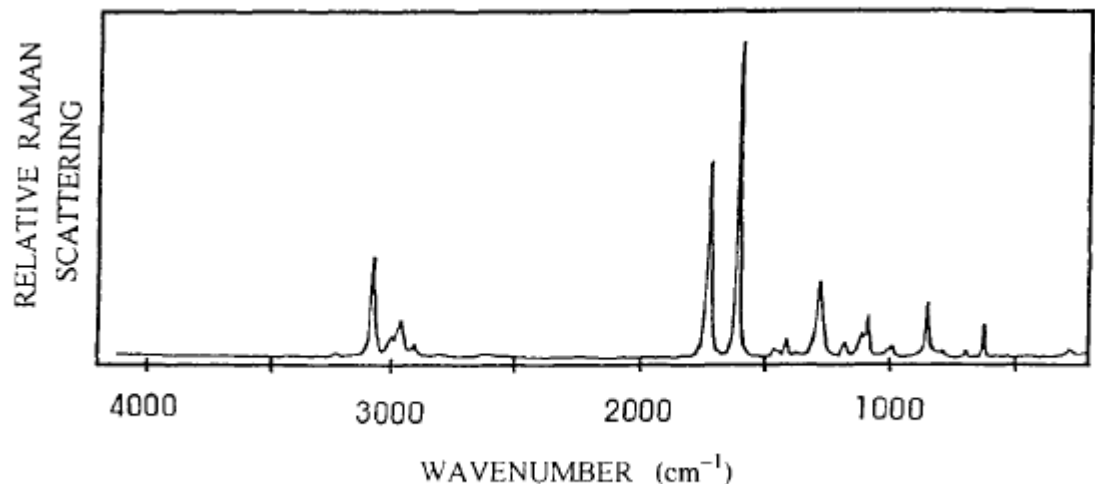


Figure 15 Raman spectrum of a polyester ($\lambda_0 = 514.5$ nm; laser power = 10 mW).

Gemas



A aplicação da espectroscopia Raman em gemologia foi revisada por: Bersani e Lottici, que fizeram revisão geral das diferentes pedras preciosas que foram examinadas por Raman. Smith realizou uma revisão ampla de uso de Raman para identificar minerais no contexto arqueométrico, já que a espectroscopia de Raman é um método espectroscópico molecular que pode diferenciar entre estruturas cristalinas e deste modo é uma excelente ferramenta para a identificação de pedra preciosas.

D. Bersani and P. P. Lottici, *Anal. Bioanal. Chem.*, 2010, 397, 2631.

P. Vandenabeele and L. Moens, *Anal. Bioanal. Chem.*, 2006, 385, 209.

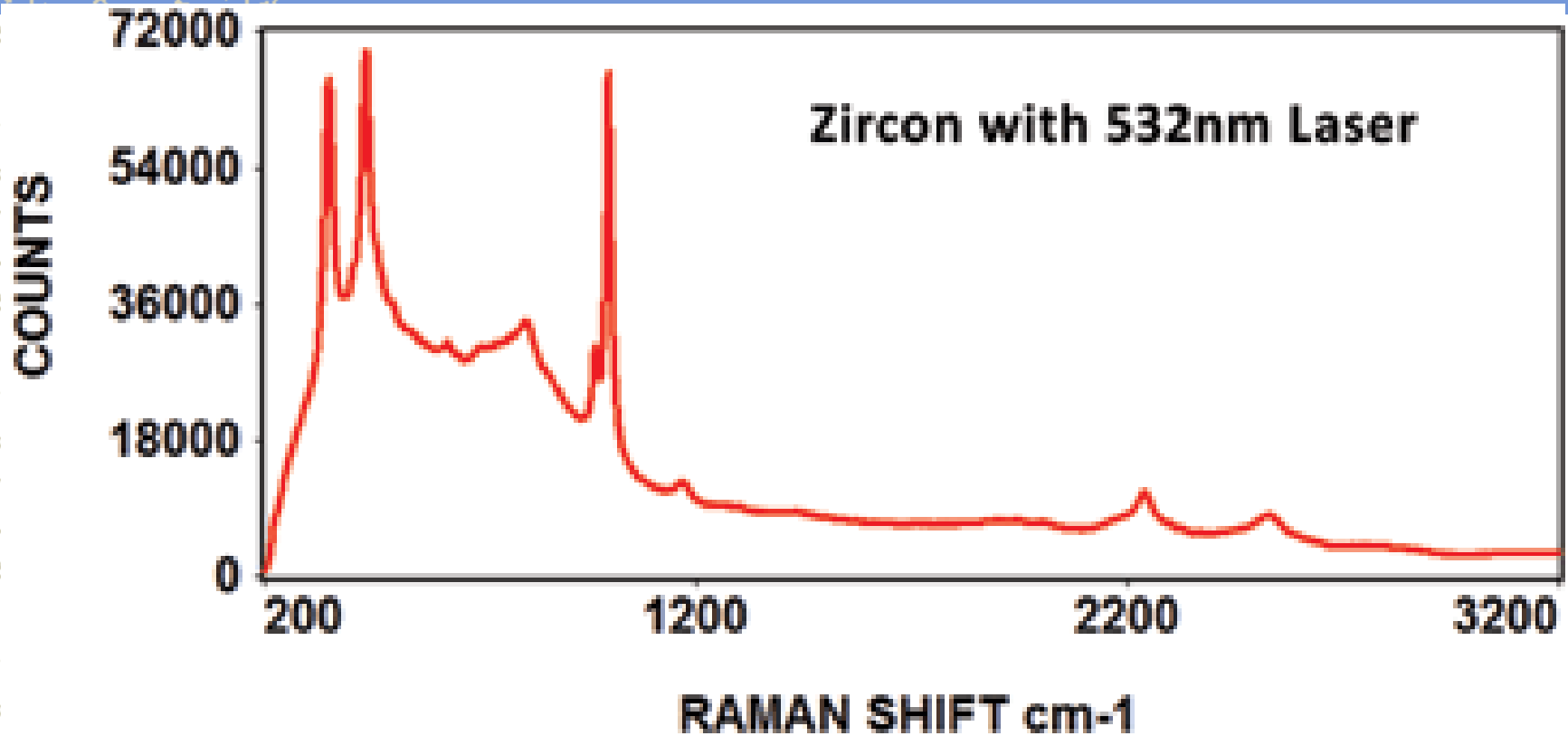
I. Reiche, S. Pages-Camagna and L. Lambacher, *J. Raman Spectrosc.*, 2004, 35, 719.

materiais	Raman
Diamantes	1332 cm^{-1}
Rubi e safira (Al_2O_3)	418 e 644 cm^{-1}
Esmeraldas ($\text{Be}_3\text{Al}_2\text{Si}_6\text{O}_{18}$)	687 e 1070 cm^{-1}

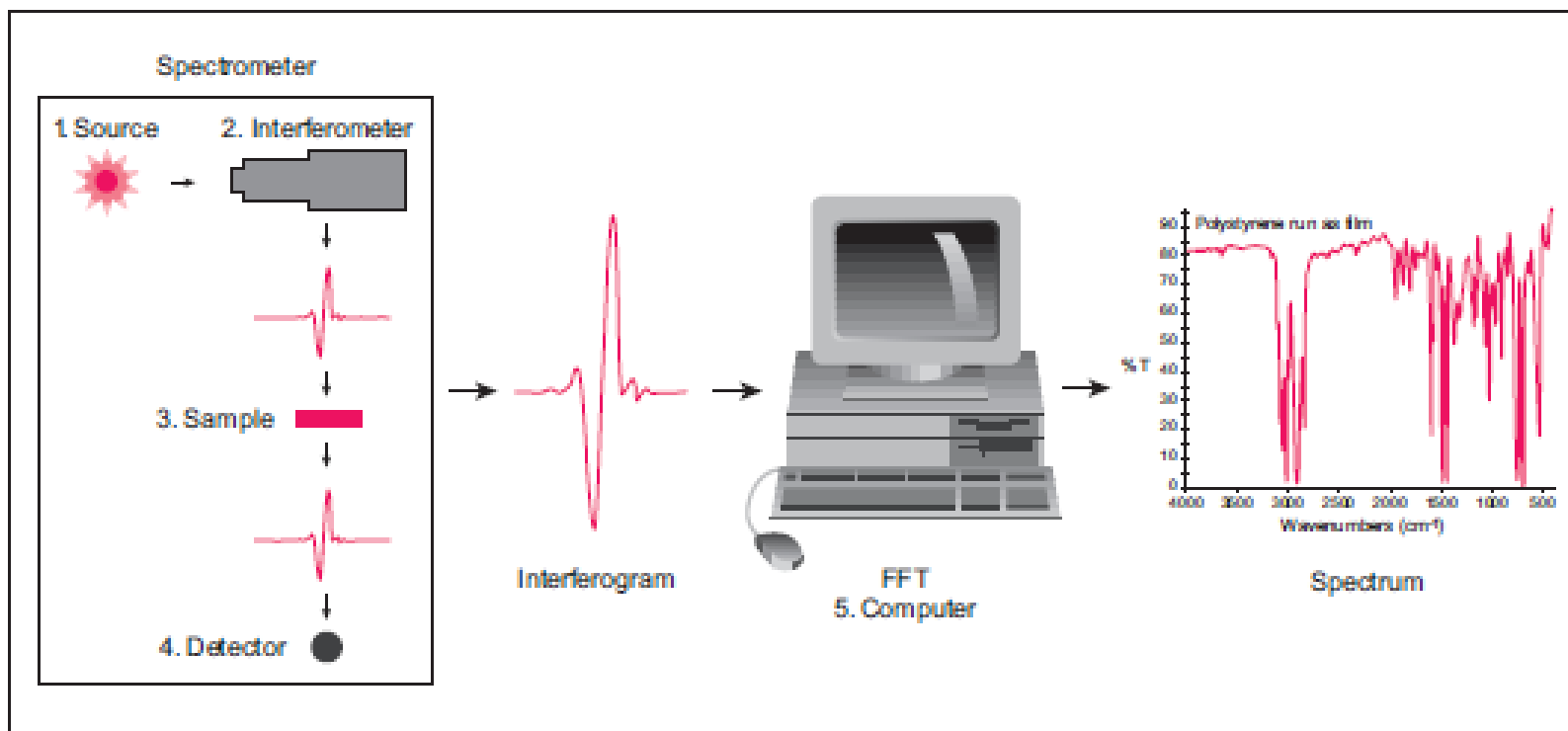
Applications in Art, Jewelry and Forensic Science

Claude Coupry and Didier Brissaud

Exemplos espectros Raman da Zirconia



FTIR – Espectroscopia de Infravermelho por transformada de Fourier



FTIR – Brucker modo reflexão

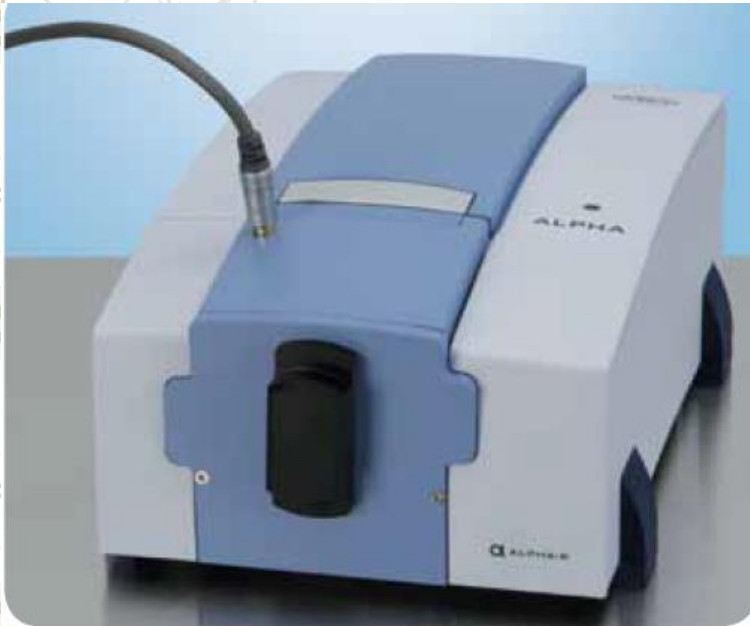


Figure 1: ALPHA-R with forward looking reflection unit including video.



Figure 2: Nottetempo by Mario Schifano with a tripod mounted ALPHA-R in the front.

espectroscopia FTIR para análise de superfície da
pintura de Mario Schifano (Centro Studi e Archivo
della Comunicazione – Parma)

Resultado FTIR

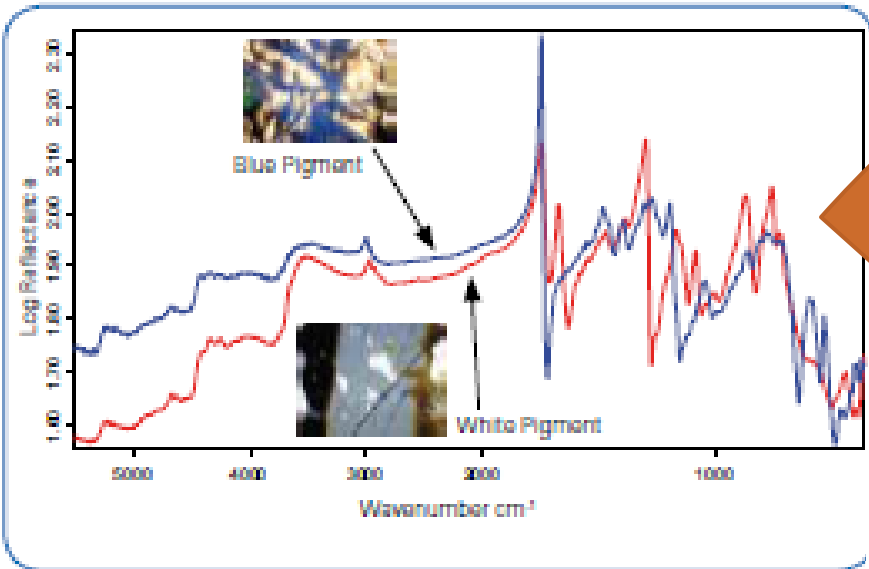


Figure 3: Raw reflection spectra of two different measuring points with two different pigments (blue pigment – blue spectrum, white pigment – red spectrum).

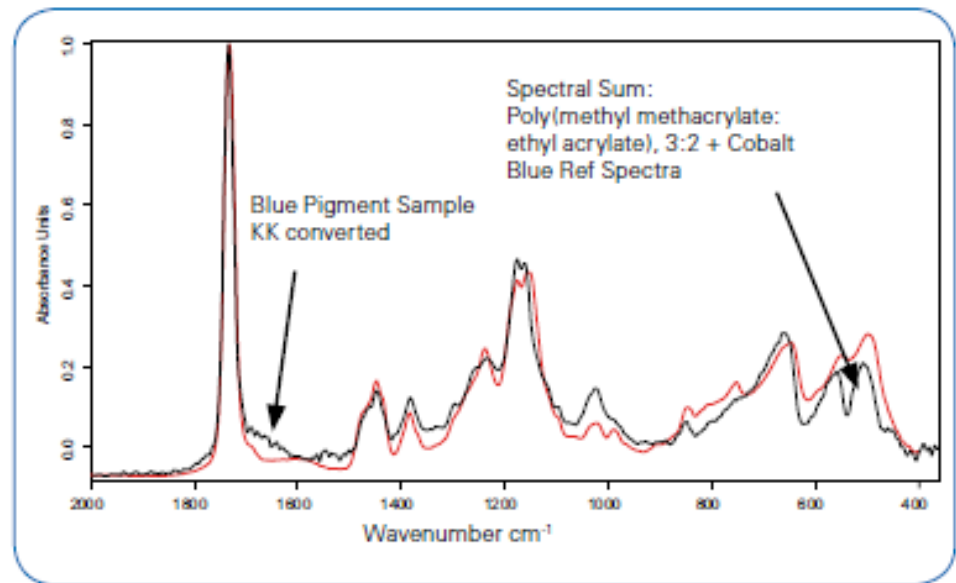


Figure 5: KKT transformed sample spectrum of a blue pigmented area (black curve) and sum spectrum of different reference spectra (red curve).

FTIR

Figure 6: Polittico di Giotto with a tripod mounted ALPHA-R and a laptop PC.

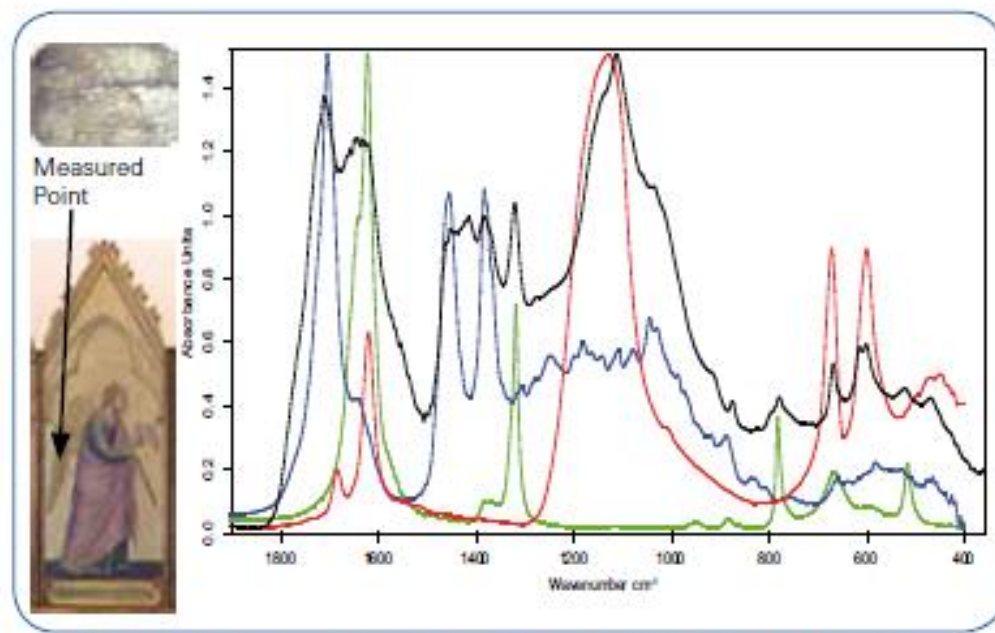


Figure 7: Detail of panel and video image of the measurement point (left). Right: Sample spectrum (black) and reference spectra of terpenic varnish (blue), calcium sulfate (red) and calcium oxalate (green).

DIFRAÇÃO

• Condições que permitam observar o fenômeno de difração:

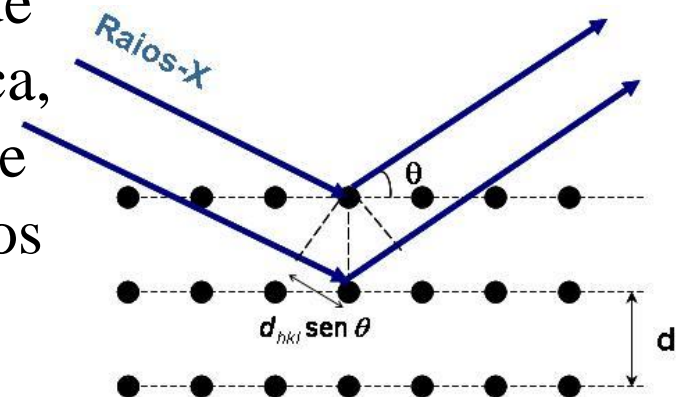
- Arranjo experimental
- Radiação incidente
- Arranjo periódico de átomos

$$\text{Lei de Bragg: } m\lambda = 2d \sin\theta$$

$$\text{Resolução: } m\lambda = 2d \sin\theta \longrightarrow m\Delta\lambda = 2d \cos\theta \Delta\theta \longrightarrow \Delta\theta/\Delta\lambda = m/(2d\cos\theta)$$

Ocorre melhor dispersão quando o ângulo θ é grande e o valor de $2d$ é um pouco maior que λ (d pequeno). A resolução é pior para ângulos θ pequenos.

DIFRAÇÃO DE RAIOS X Fenômeno de espalhamento da radiação eletromagnética, provocada pela interação entre o feixe de raios-X incidente e os elétrons dos átomos componentes de um material.



INTERAÇÃO DOS RAIOS X COM OS CRISTAIS

DIFRAÇÃO NÃO É REFLEXÃO

- O feixe difratado contém contribuições do espalhamento de todos os átomos do cristal que estão no caminho do feixe incidente. A reflexão da luz visível ocorre apenas numa fina camada superficial.
- A difração de raios X monocromáticos ocorre apenas em ângulos que satisfazem a Lei de Bragg. A reflexão de luz visível ocorre para qualquer ângulo de incidência.
- A reflexão de luz visível por um bom espelho é ~100% eficiente. A intensidade dos raios X difratados \ll intensidade I_0 .

ORDENS DE DIFRAÇÃO

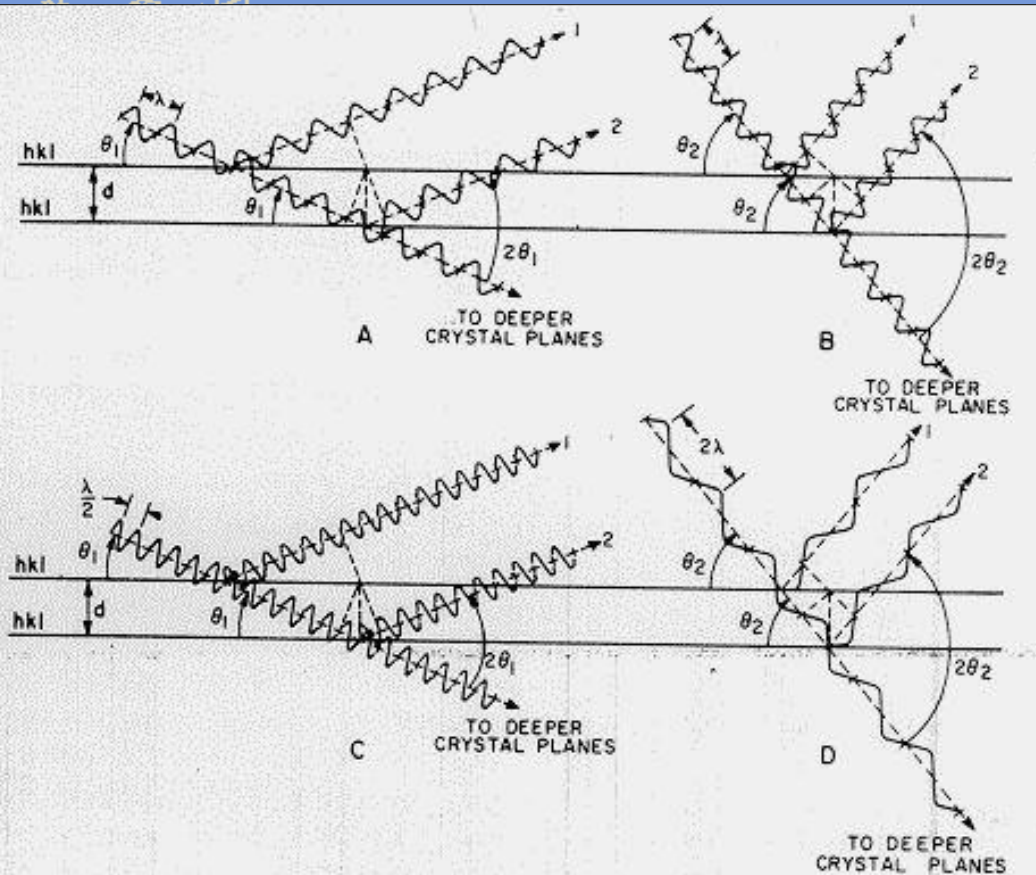


FIG. 2.15. Origin of diffraction orders.

A: Primeira ordem de difração
comprimento de onda λ em θ_1
diferença de caminho = λ

B: Segunda ordem de difração
comprimento de onda λ em θ_2
diferença de caminho = 2λ

C: Segunda ordem de difração
comprimento de onda $\lambda/2$ em θ_1
diferença de caminho = λ (A)

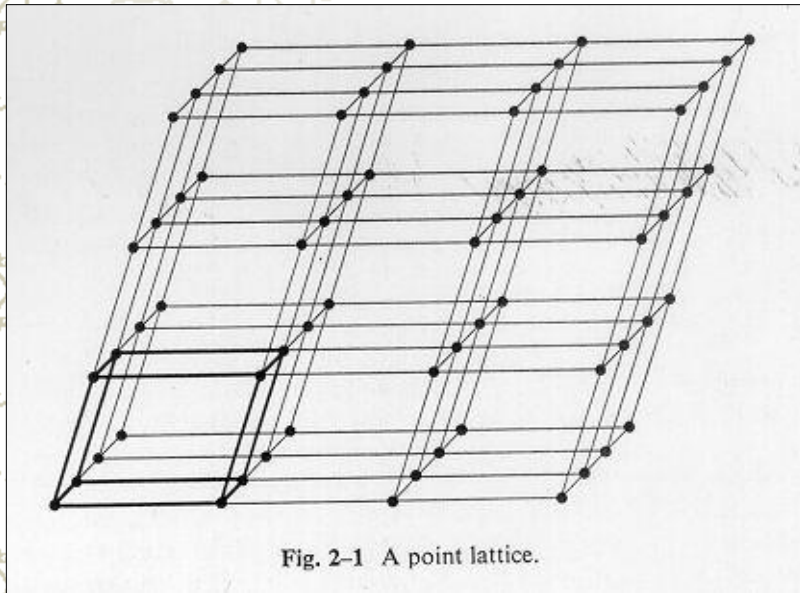
D: Primeira ordem de difração
comprimento de onda 2λ at θ_2
diferença de caminho = 2λ (B)

- Mesmo comprimento de onda difrata o mesmo d_{hkl} em ângulos diferentes.

- Diferentes comprimentos de onda difratam no mesmo ângulo de Bragg.

Geometria do estado cristalino

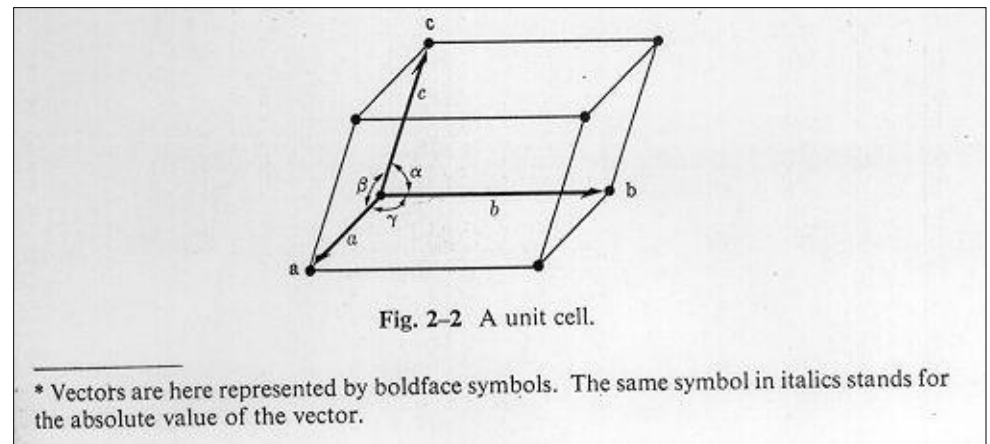
Cristal: arranjo periódico de átomos



Parâmetros de rede

a, b, c = eixos cristalográficos

α, β, γ = ângulos entre os eixos



Difração de raios X

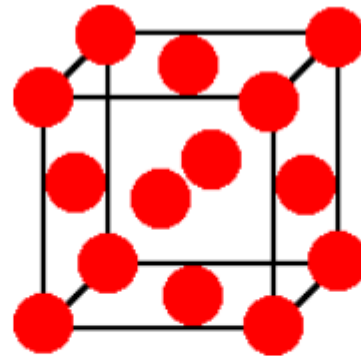


Fig. 5.11

Nessa estrutura, os átomos funcionam como obstáculos, ou centros de espalhamento dos raios X. Os cristais são formados quando bilhões e bilhões de estruturas idênticas são colocadas lado a lado. Desse modo, formam-se famílias de planos atômicos, separadas por distâncias inferiores a 1 nm.

Pode-se utilizar a difração de raios X para identificar novos materiais através do espalhamento dos raios X pelos átomos do cristal e determinar a distância interatômica do material, e deste modo identificar o material
1953 usando esta técnica foi identificado o DNA



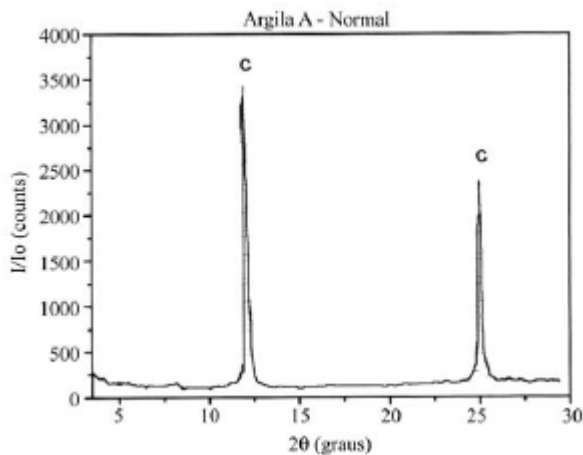
Determinação de argilominerais por XRD

Determinação de fases cristalinas em materiais cerâmicos

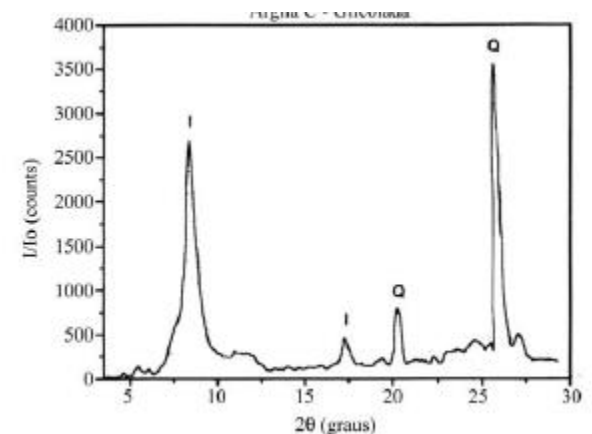
Tabela I - Distâncias interplanares características [1].
[Table I: Interplanar distance [1].]

Distância Interplanar (Å) (pico principal)	Distância Interplanar (Å) (picos secundários)	Argilomineral
7	3,58	Caulinita
10	5,0 e 3,33	Ilita
14	7,0; 4,7 e 3,5	Clorita
14	7,0; 4,7 e 3,5	Clorita expansível
12 ou 14	5,1 e 3,5	Montmorilonita-12 ou 14
14		Vermiculita

Difratograma de uma argila identificando a Caulinita (C)



Difratograma de uma argila identificando o Quartzo (Q) e ilita (I)



Caracterização mineralógica de azulejos século XVI, XVII e XIX

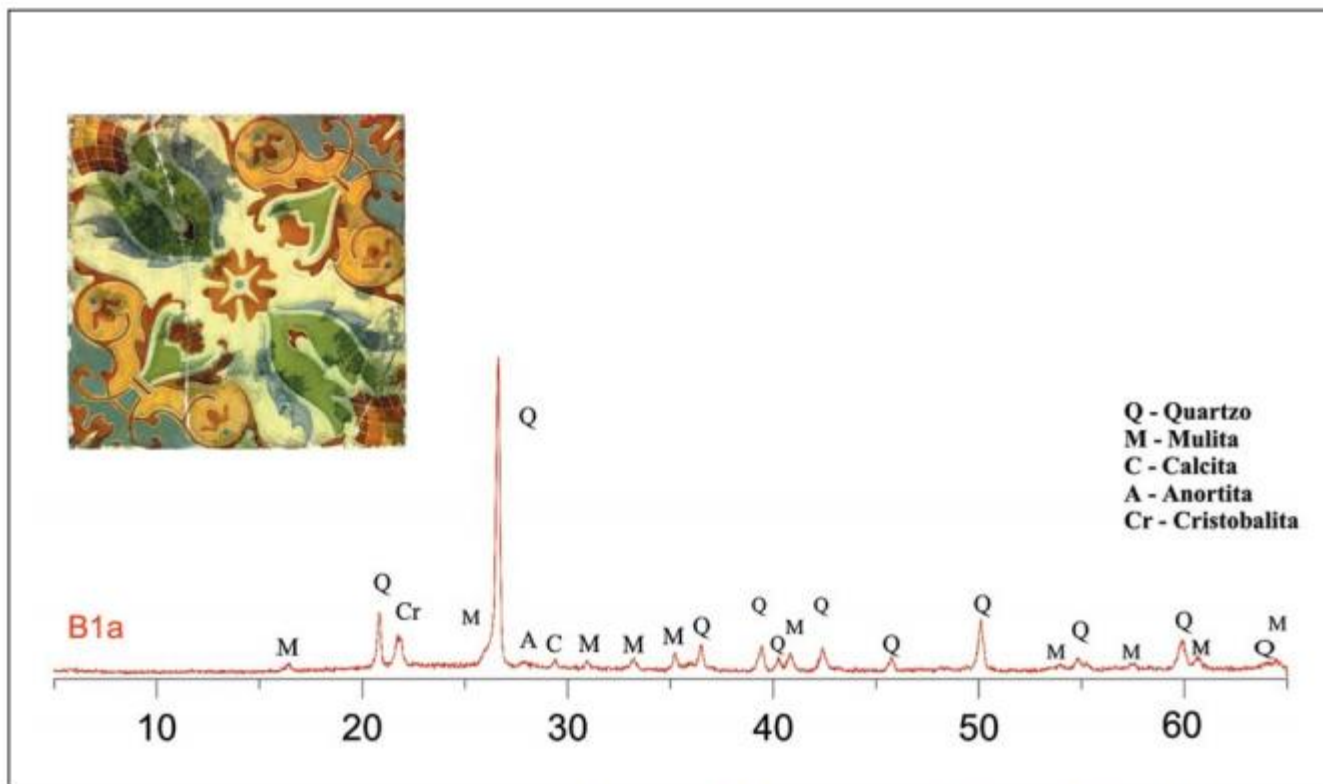


Figura 1 - Difratoograma da amostra B1-A, com a imagem do azulejo analisado. Essa amostra de azulejo é do século XIX, da Fábrica Villeroy e Boch, Alemanha.

CARACTERIZAÇÃO MINERALÓGICA DE AZULEJOS SÉCULO XVI, XVII E XIX

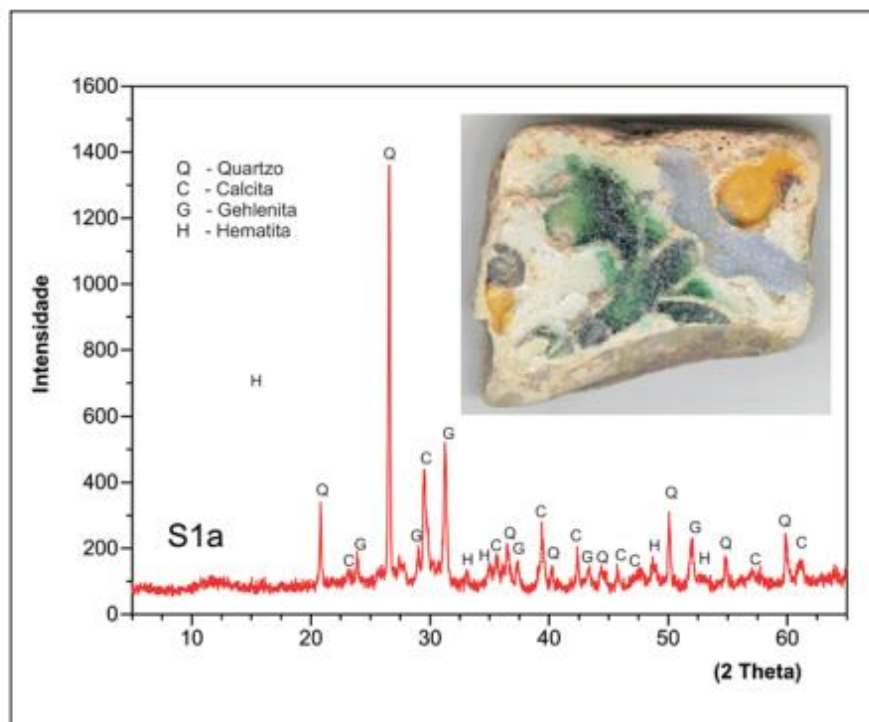


Figura 2 - Difratoograma de raios X da amostra S1-A, com a imagem do azulejo analisado, que é um fragmento de azulejo hispano-mourisco.

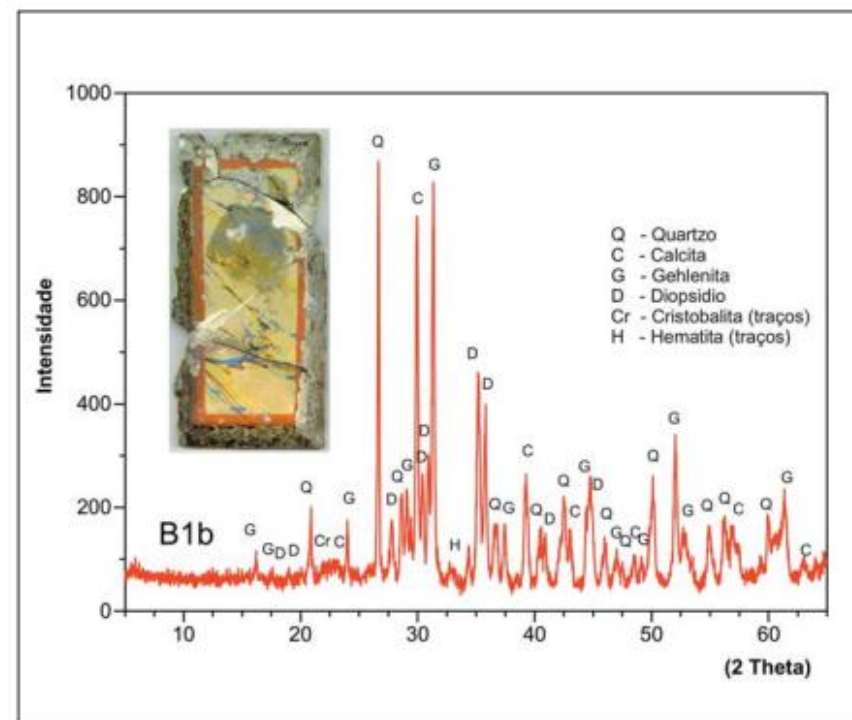


Figura 3 - Difratoograma de raios X da amostra B1-B, com a imagem do azulejo analisado, do século XIX e de origem portuguesa.

Equipamento de XRD Brucker

<https://www.bruker.com>

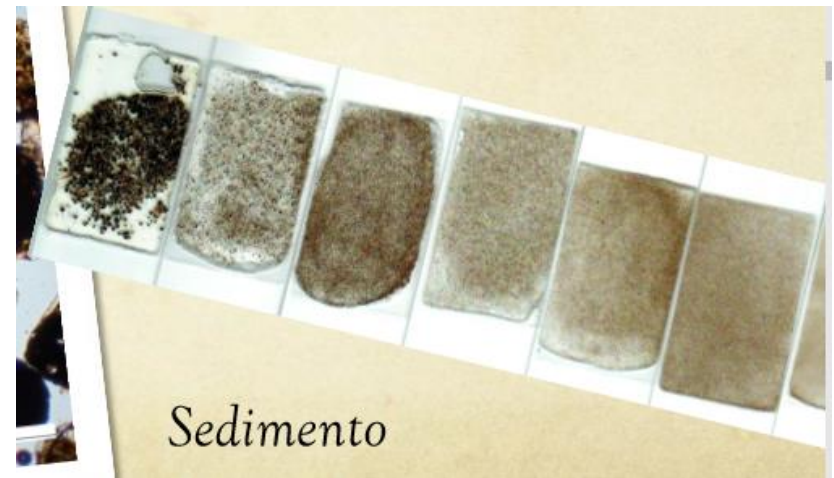


Applications

- Crystalline phase identification
- Crystalline phase quantification
- % crystallinity
- Crystallite size determination
- Crystal structure analysis
- Crystal orientation
- Texture and preferred orientation
- Microstrain
- Residual stress
- Depth profiling
- Polymorph screening
- High temperature
- Low temperature
- Humidity
- Phase transition
- Nanoparticles

Microscopia petrográfica

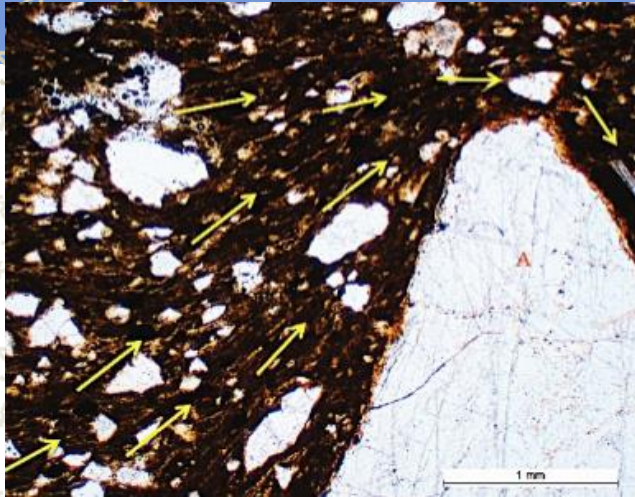
Faz uso da interação de um feixe de luz polarizado com uma fina seção da amostra a ser analisada, por meio de uma lâmina de seção delgada da cerâmica, ou matéria-prima argilosa sobre uma lâmina.



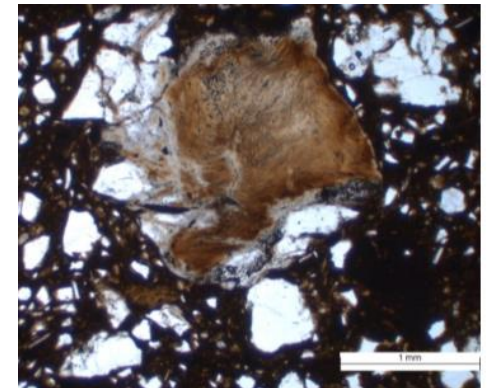
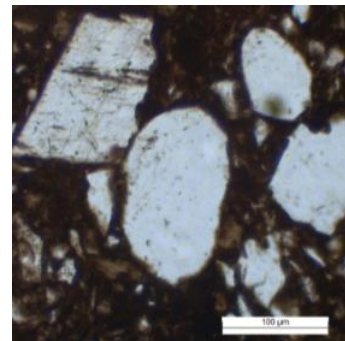
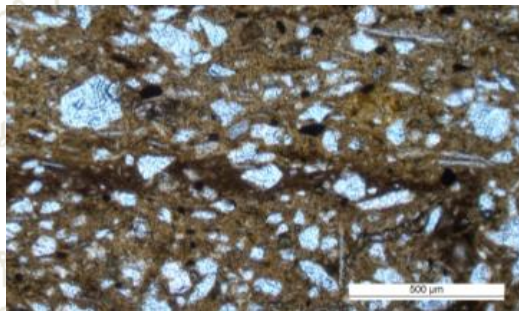
Resultados

- Objetivou avaliar a composição da pasta cerâmica, por meio das seguintes análises:
 - Distribuição granulométrica,
 - Mineralogia de minerais granulares presentes,
 - Ocorrência de tempero,
 - Técnica de manufatura do artefato,
 - Possível conexão com as fontes de argila no entorno.

Microscopia petrográfica

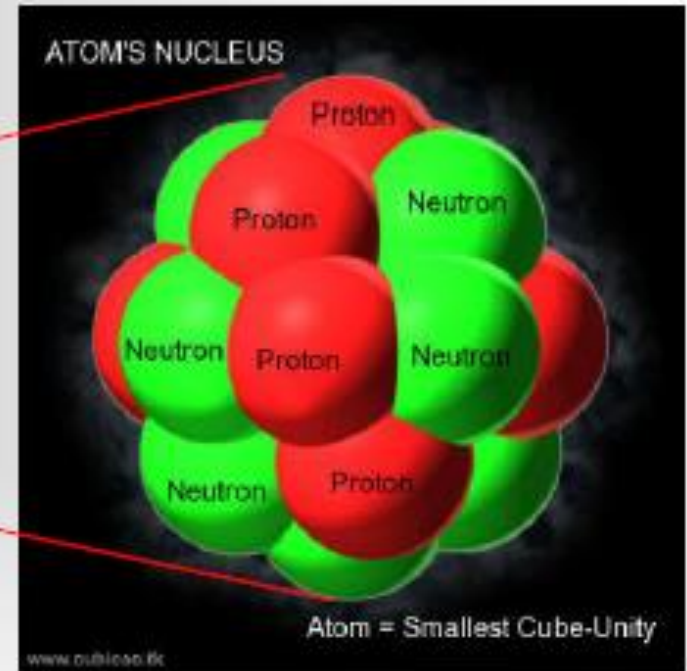
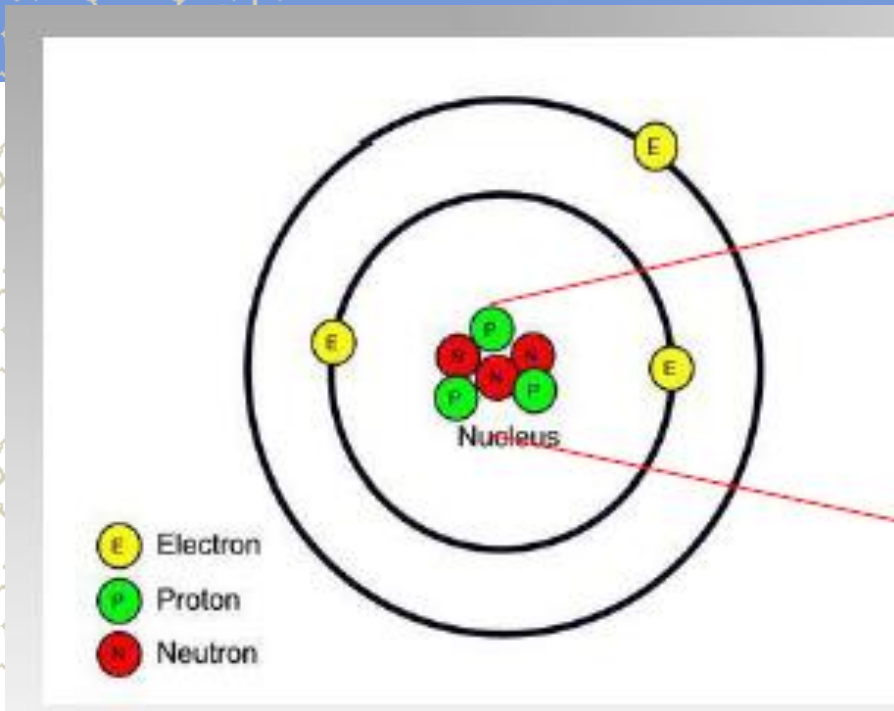


Compactação diferencial da pasta no entorno do quartzo devido a produção da cerâmica (emprego de roletes).



Presença de quartzo, mica verde, Líticos Opacos Oxidados
Comprovação de uso de antiplásticos (temperos) como material
granulado, material orgânico calcinado, grãos de quartzo triturados.

Do átomo para o núcleo



Os processos nucleares estão presentes em nossa vida todos os momentos. Nestes processos são geradas radiações devido a processos de modificações dos prótons e nêutrons, por emissão de partículas ou por de-excitação nuclear